

TRABALHO 1: IMAGEM

Implemente o algoritmo de superpixel SLICO descrito em:

https://infoscience.epfl.ch/record/177415/files/Superpixel_PAMI2011-2.pdf

<https://infoscience.epfl.ch/record/177415>

Seguindo as adaptações indicadas nos próximos slides.

Superpixels

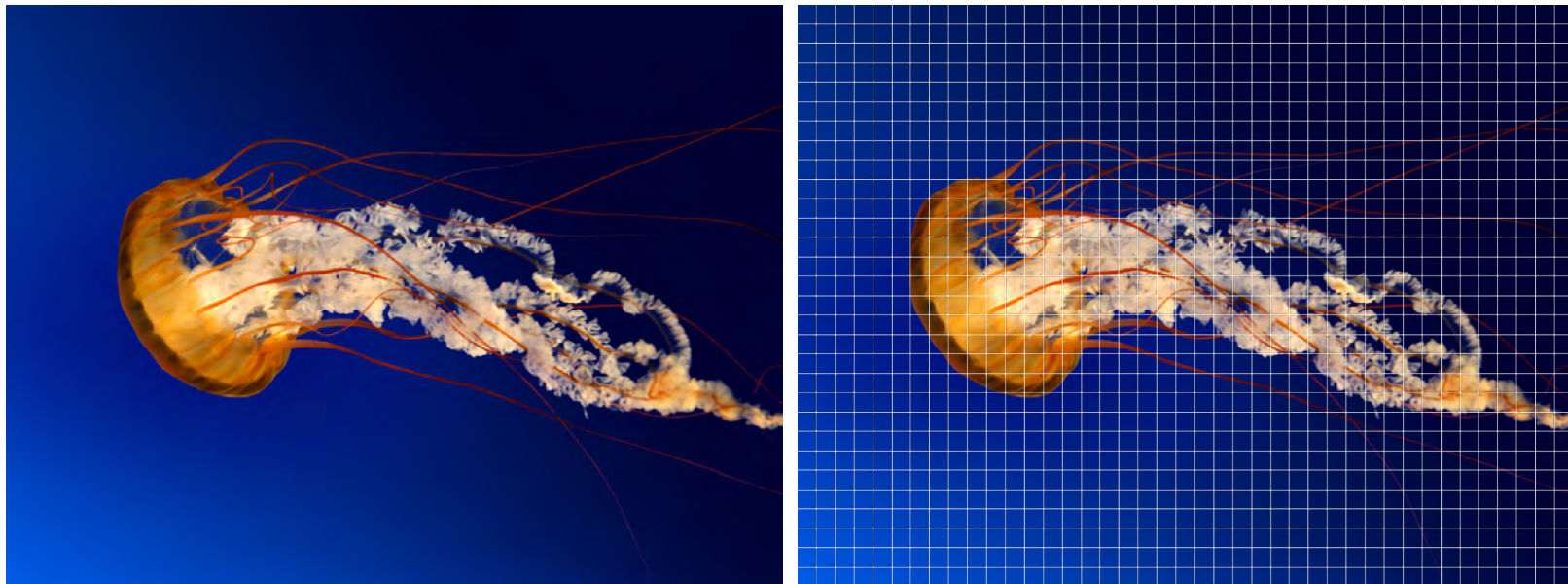


O algoritmo SLIC (*Simple Linear Iterative Clustering*)

Entrada: n_s (número aprox. de superpixels) e, opcionalmente, m (compacidade)

1. Calcule as coordenadas CIE Lab de todos os pixels da imagem;
2. Calcule o tamanho, s , da célula quadrada
3. Inicialize os representantes das células $c_i = [l_i; a_i; b_i; x_i; y_i]^T$ amostrando em uma grade de tamanho s , $i=0, \dots, (n_s-1)$

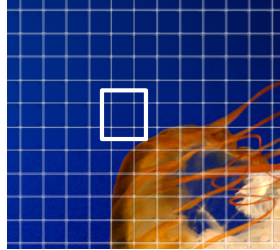
$$s = \sqrt{\frac{w * h}{n_s}}$$



evite as bordas e pontos ruidosos: escolha na vizinhança 3x3 do centro da célula o pixel que tenha o menor gradiente para c_i

O algoritmo SLIC (cont.)

4. Para cada superpixel c_k crie uma janela de tamanho $2s$ centrada em (x_k, y_k)



- a) *Para cada pixel neste janela que estiver atribuído a outro superpixel c_j , verifique se a distância dele ao c_k é menor e, se for, atribua este pixel ao c_k .*
5. *Quando todos os superpixels tiverem sido visitados, recalcule o sua cor e centro através da média de seus pixels. Calcule também o deslocamento de seu centro e acumule numa medida de erro E .*
6. *Se o erro acumulado (de todos os superpixels) for pequeno ou se o número de iterações for excessivo, maior que 10, por exemplo, pare. Caso contrário volte para o passo 4.*

Cálculo de distância

Distância entre o pixel $\mathbf{p}_j = [l_j; a_j; b_j; x_j; y_j]^T$ e o superpixel $\mathbf{c}_i = [l_i; a_i; b_i; x_i; y_i]^T$

$$d_c = \sqrt{(l_i - l_j)^2 + (a_i - a_j)^2 + (b_i - b_j)^2}$$

$$d_s = \sqrt{(x_i - x_j)^2 + (y_i - y_j)^2}$$

$$d_t = \sqrt{\left(\frac{d_c}{m_c}\right)^2 + \left(\frac{d_s}{m_s}\right)^2}$$

onde m_c e m_s são as máximas distâncias esparadas no superpixel.

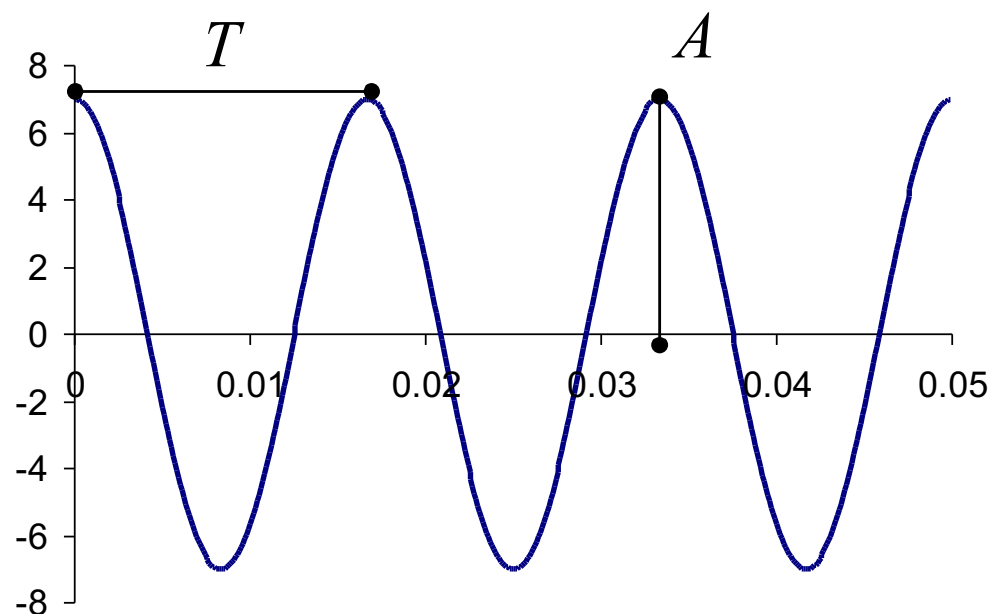
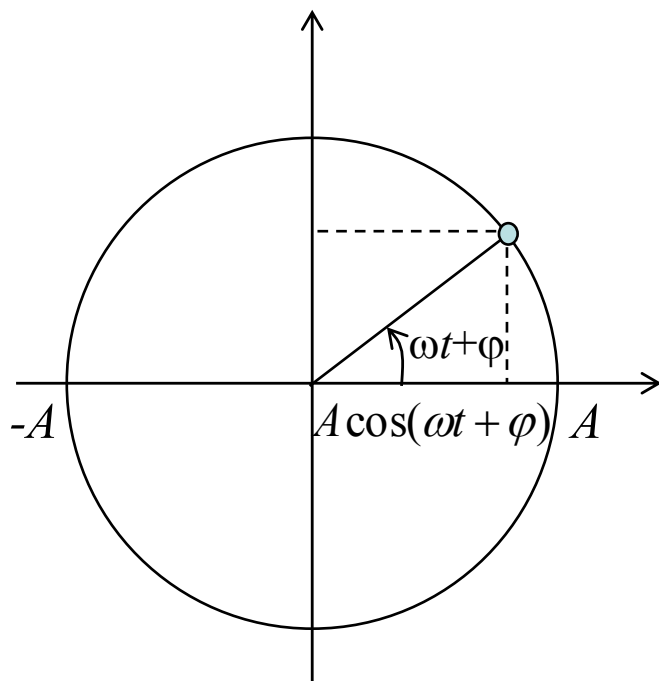
Opções:

1. constantes: $m_s = s$ e m_c é *parâmetro de entrada*.
2. adaptativos: m_s e m_c são *calculados a partir da última iteração*.

UM POUCO DE TEORIA DE SINAIS: IMAGENS NO DOMÍNIO DA FREQUÊNCIA

- Transformada de Fourier
- Transformada de Haar

Harmônicos

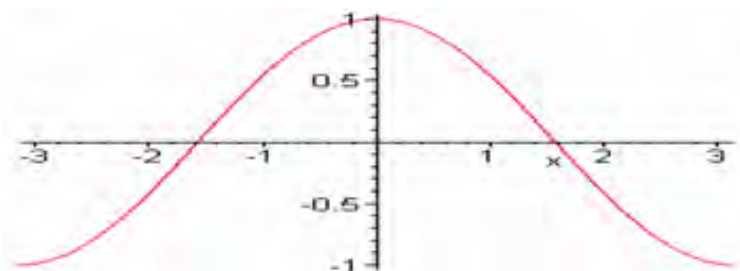


$$f = \frac{1}{T} \text{ (Hz)}$$

$$\omega t = 2\pi f t = \frac{2\pi}{T} t \text{ (rad)}$$

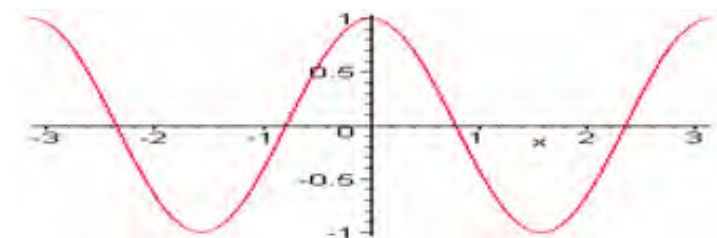
Integrais de senos e cosenos em $[-\pi, \pi]$

$$\cos(nx)$$

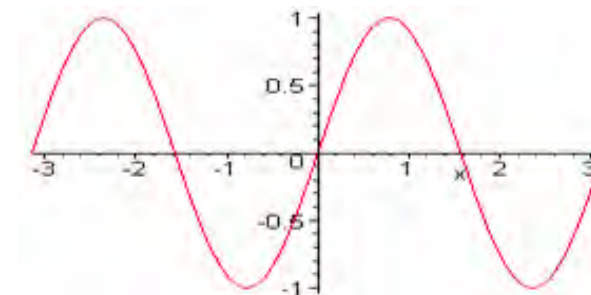


$$n = 1$$

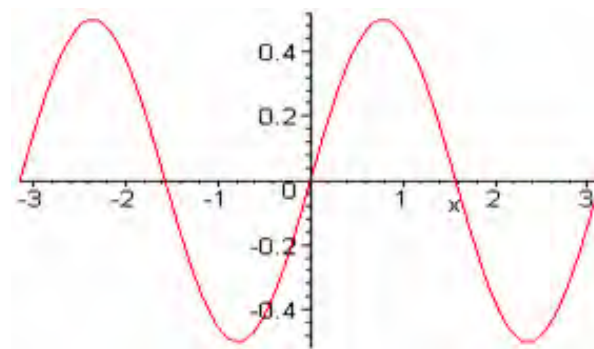
$$\sin(nx)$$



$$n = 2$$



$$\sin(nx)\cos(nx)$$



Áreas se compensam.
Integrais resultam em 0.

Integrais de senos e cosenos em $[-\pi, \pi]$

$$\int_{-\pi}^{\pi} \sin(mx) \sin(nx) dx = \pi \delta_{mn} \quad \text{for } n, m \neq 0$$

$$\int_{-\pi}^{\pi} \cos(mx) \cos(nx) dx = \pi \delta_{mn} \quad \text{for } n, m \neq 0$$

$$\int_{-\pi}^{\pi} \sin(mx) \cos(nx) dx = 0$$

$$\int_{-\pi}^{\pi} \sin(mx) dx = 0$$

$$\int_{-\pi}^{\pi} \cos(mx) dx = 0$$

Funções ortogonais

Série de Fourier

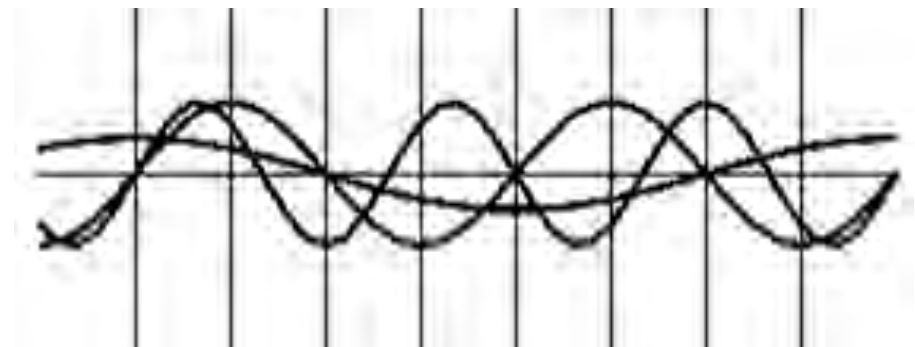
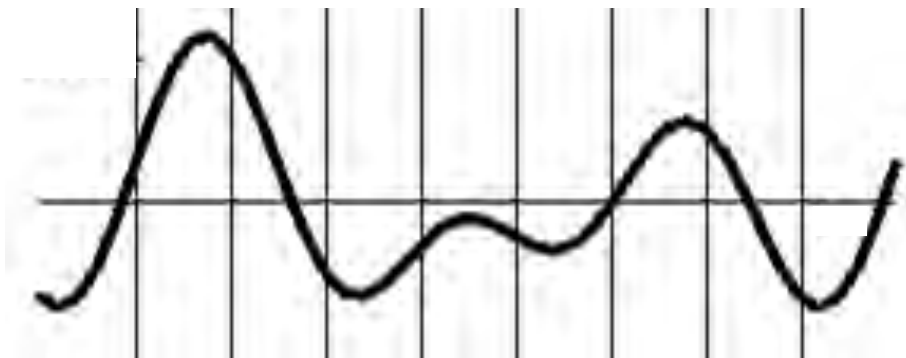


Jean Baptiste Joseph Fourier (1768-1830)

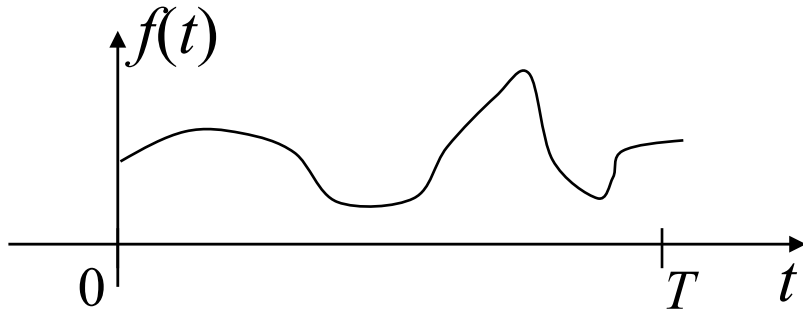
Paper de 1807 para o Institut de France:

Joseph Louis Lagrange (1736-1813), and Pierre Simon de Laplace (1749-1827).

$$f(t) = a_0 + 2 \sum_{k=1}^{\infty} \left(a_k \cos \frac{2\pi kt}{T} + b_k \sin \frac{2\pi kt}{T} \right)$$



Série de Fourier: cálculo de a_0



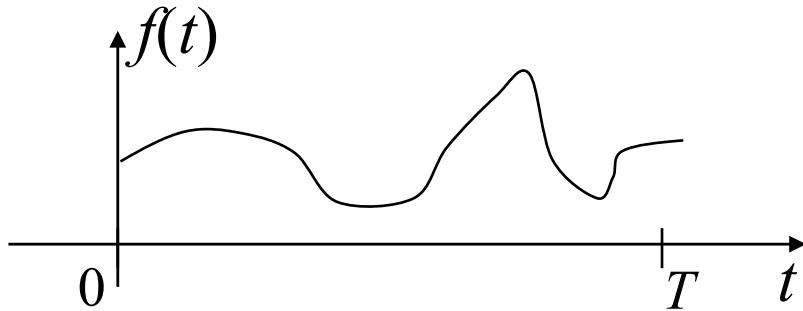
$$f(t) = a_0 + 2 \sum_{k=1}^{\infty} \left(a_k \cos \frac{2\pi kt}{T} + b_k \sin \frac{2\pi kt}{T} \right)$$

$$\int_0^T f(t) dt = \int_0^T a_0 dt + \sum_{k=1}^{\infty} \left(a_k \int_0^T \cos\left(\frac{2\pi nkt}{T}\right) dt + b_k \int_0^T \sin\left(\frac{2\pi kt}{T}\right) dt \right)$$

$$\int_0^T f(t) dt = a_0 T + 0 + 0$$

$$a_0 = \frac{1}{T} \int_0^T f(t) dt$$

Série de Fourier: a_n e b_n



$$f(t) = a_0 + 2 \sum_{k=1}^{\infty} \left(a_k \cos \frac{2\pi k t}{T} + b_k \sin \frac{2\pi k t}{T} \right)$$

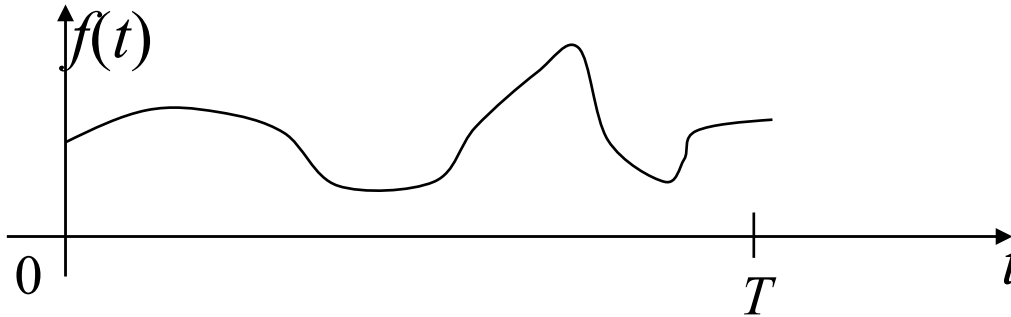
$$\begin{aligned} \int_0^T \cos\left(\frac{2\pi n t}{T}\right) f(t) dt &= 0 + 2 \sum_{k=1}^{\infty} a_n \int_0^T \cos\left(\frac{2\pi n t}{T}\right) \cos\left(\frac{2\pi k t}{T}\right) dt + 0 \\ &= T a_n \end{aligned}$$

$$a_n = \frac{1}{T} \int_0^T f(t) \cos\left(\frac{2\pi n t}{T}\right) dt$$

...

$$b_n = \frac{1}{T} \int_0^T f(t) \sin\left(\frac{2\pi n t}{T}\right) dt$$

Resumindo



$$f(t) = a_0 + 2 \sum_{k=1}^{\infty} \left(a_k \cos \frac{2\pi k t}{T} + b_k \sin \frac{2\pi k t}{T} \right)$$

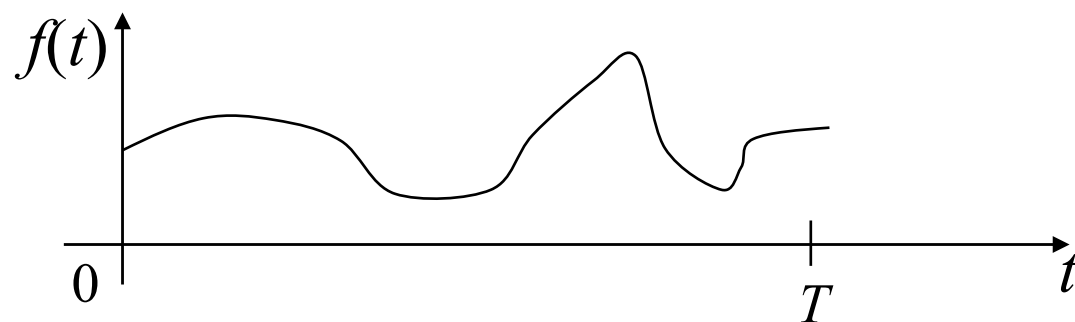
$$a_k = \frac{1}{T} \int_0^T f(t) \cos\left(\frac{2\pi k t}{T}\right) dt \quad k = 0, 1, 2, 3, \dots$$

$$b_k = \frac{1}{T} \int_0^T f(t) \sin\left(\frac{2\pi k t}{T}\right) dt \quad k = 1, 2, 3, \dots$$

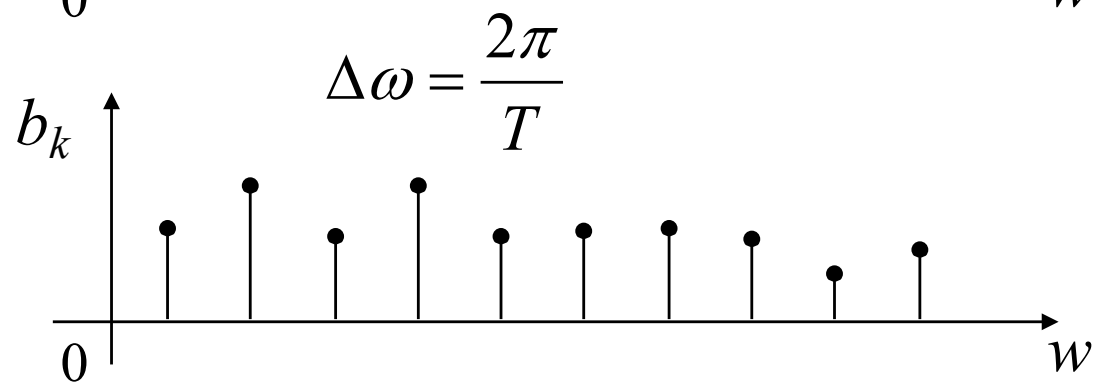
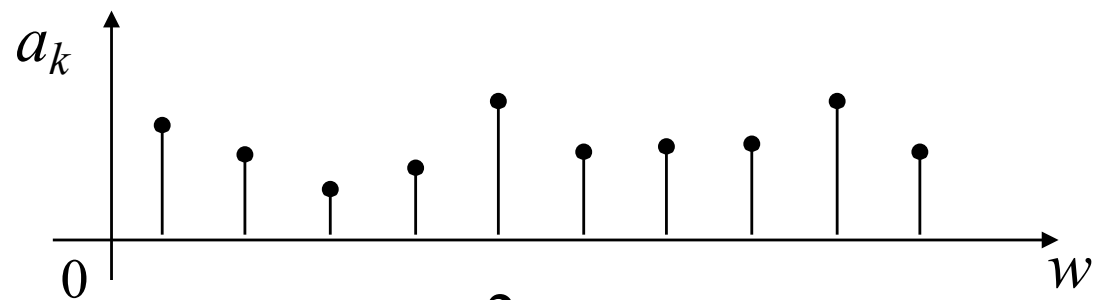
$$\omega_k = \frac{2\pi k}{T}$$

$$\Delta\omega = \frac{2\pi}{T}$$

Domínios



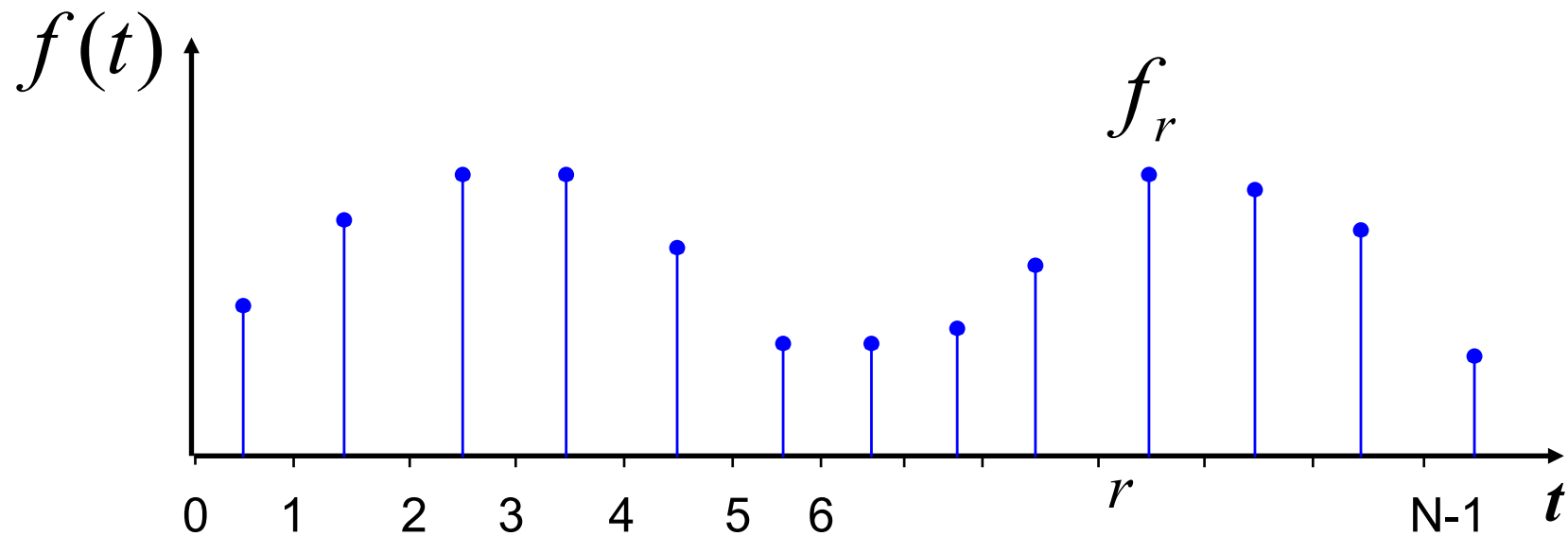
tempo ou
espaço



$$\Delta\omega = \frac{2\pi}{T}$$

freqüência

Sinal discreto

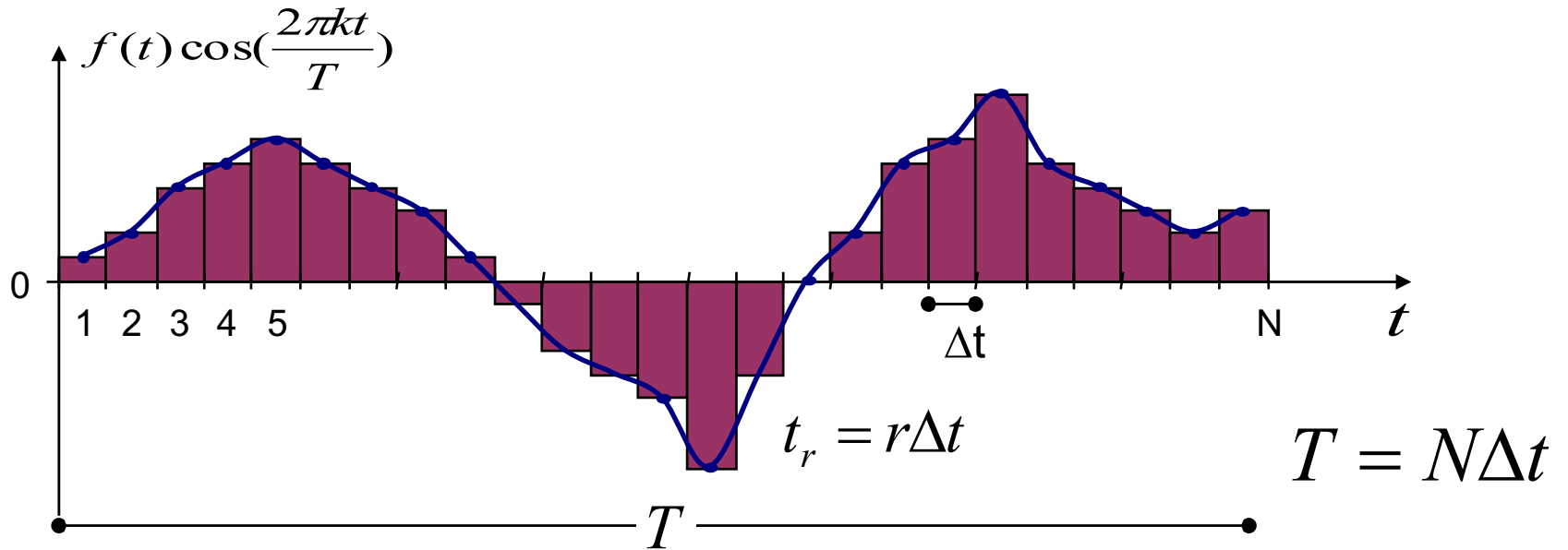


$$\bullet \text{---} \bullet \Delta t$$

$$\bullet \text{---} t = r\Delta t \text{---} \bullet$$

$$\bullet \text{---} T = N\Delta t \text{---} \bullet$$

$$(f_0, f_1, f_2, \dots, f_r, \dots, f_{N-2}, f_{N-1},)$$



$$a_k = \frac{1}{T} \int_0^T f(t) \cos\left(\frac{2\pi kt}{T}\right) dt \quad \cong \quad \frac{1}{N\Delta t} \sum_{r=0}^{N-1} f_k \cos\left(\frac{2\pi kr\Delta t}{N\Delta t}\right) \Delta t$$

$$a_k \cong \frac{1}{N} \sum_{r=0}^{N-1} f_r \cos\left(\frac{2\pi kr}{N}\right) \quad \dots \quad b_k \cong \frac{1}{N} \sum_{r=0}^{N-1} f_k \sin\left(\frac{2\pi kr}{N}\right)$$

$$a_k \cong \frac{1}{N} \sum_{r=0}^{N-1} f_r \cos\left(\frac{2\pi kr}{N}\right) \quad b_k \cong \frac{1}{N} \sum_{r=0}^{N-1} f_r \sin\left(\frac{2\pi kr}{N}\right)$$

$$\begin{bmatrix} a_0 \\ a_1 \\ \vdots \\ a_{N-1} \end{bmatrix} = \frac{1}{N} \begin{bmatrix} c_{00} & c_{01} & \cdots & c_{0(N-1)} \\ c_{10} & c_{11} & \cdots & c_{1(N-1)} \\ \vdots & \vdots & \ddots & \vdots \\ c_{(N-1)0} & c_{(N-1)1} & \cdots & c_{(N-1)(N-1)} \end{bmatrix} \begin{bmatrix} f_0 \\ f_1 \\ \vdots \\ f_{N-1} \end{bmatrix} \quad \text{onde:}$$

$$c_{kr} = \cos\left(\frac{2\pi kr}{N}\right)$$

$$\begin{bmatrix} b_0 \\ b_1 \\ \vdots \\ b_{N-1} \end{bmatrix} = \frac{1}{N} \begin{bmatrix} s_{00} & s_{01} & \cdots & s_{0(N-1)} \\ s_{10} & s_{11} & \cdots & s_{1(N-1)} \\ \vdots & \vdots & \ddots & \vdots \\ s_{(N-1)0} & s_{(N-1)1} & \cdots & s_{(N-1)(N-1)} \end{bmatrix} \begin{bmatrix} f_0 \\ f_1 \\ \vdots \\ f_{N-1} \end{bmatrix} \quad \text{onde:}$$

$$s_{kr} = \sin\left(\frac{2\pi kr}{N}\right)$$

Transformada Discreta

$$f(t) = \sin(2\pi 10t)$$

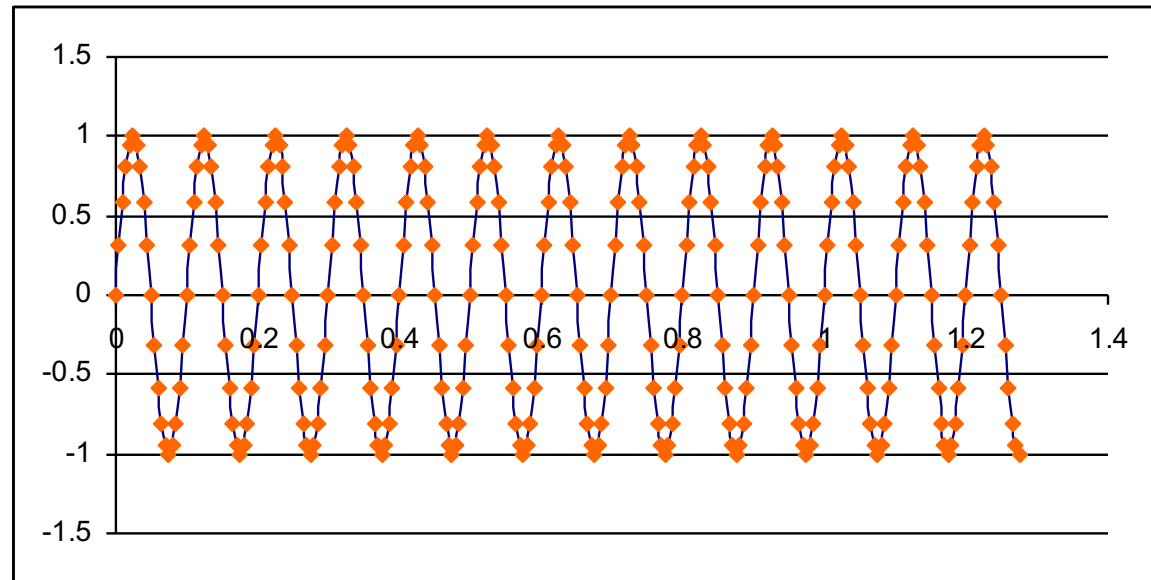
$$f_a = 200\text{Hz}$$

$$N = 256$$

$$\Delta t = \frac{1}{f_a} = 0.005\text{sec}$$

$$T = 0.005 \times 256 = 1.28\text{sec}$$

T - não é o período do sinal!



$$T = N \cdot \Delta t = \frac{N}{f_a}$$

$$f_s = \sin\left(2\pi 10 \frac{sT}{N}\right)$$

Transformada Discreta de Fourier

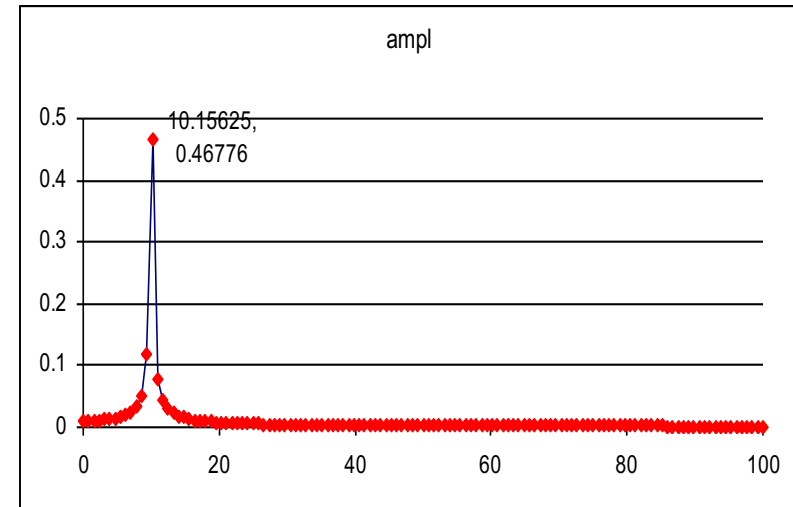
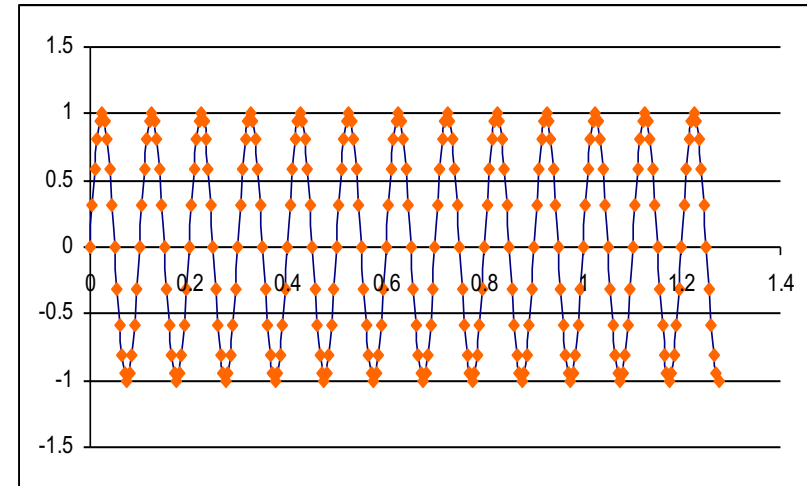
$$f_s = \sin(2\pi 10 \frac{sT}{N})$$

$$F_k \equiv \frac{1}{N} \sum_{s=0}^{N-1} f_s e^{-i(\frac{2\pi ks}{N})}$$

$$k = 1$$

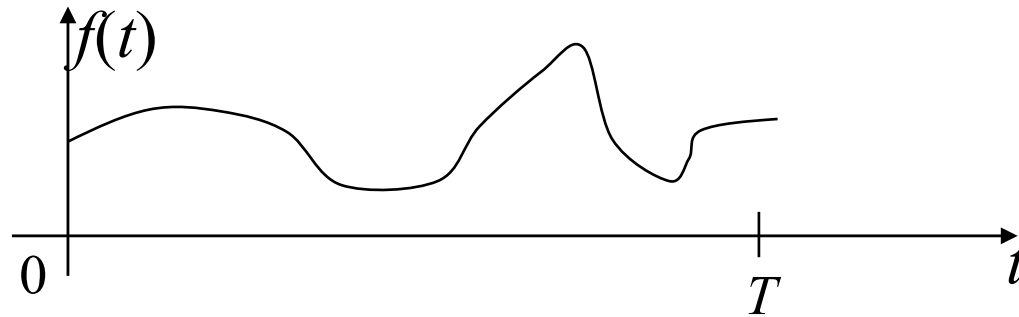
$$\Delta f = \frac{1}{T} = 0.7813 \text{ /sec}$$

$$\Delta \omega = \frac{2\pi}{T} = 4.91 \text{ rad /sec}$$

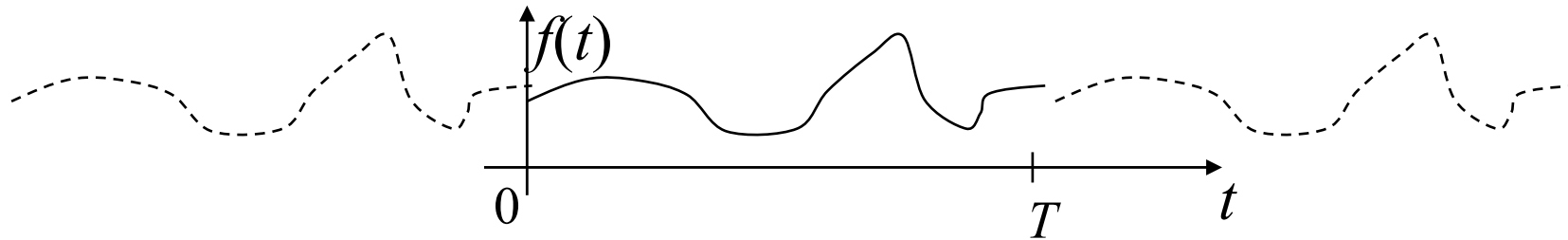


todas as freqüências computadas são múltiplas destas

Periodicidade da Série de Fourier

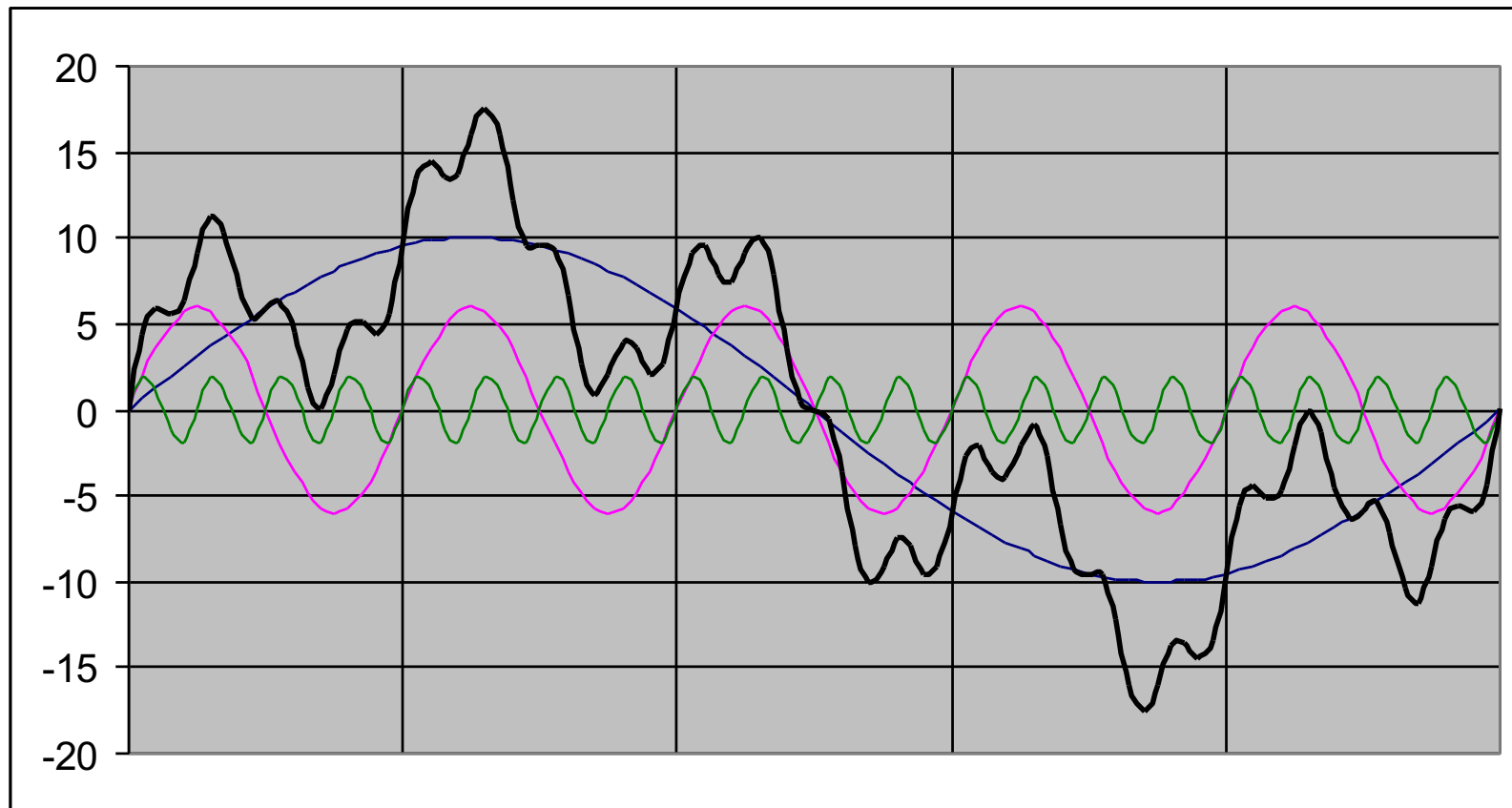


$$f(t+T) = a_0 + 2 \sum_{k=1}^{\infty} \left(a_k \cos\left(\frac{2\pi k}{T}(t+T)\right) + b_k \sin\left(\frac{2\pi k}{T}(t+T)\right) \right) = f(t)$$

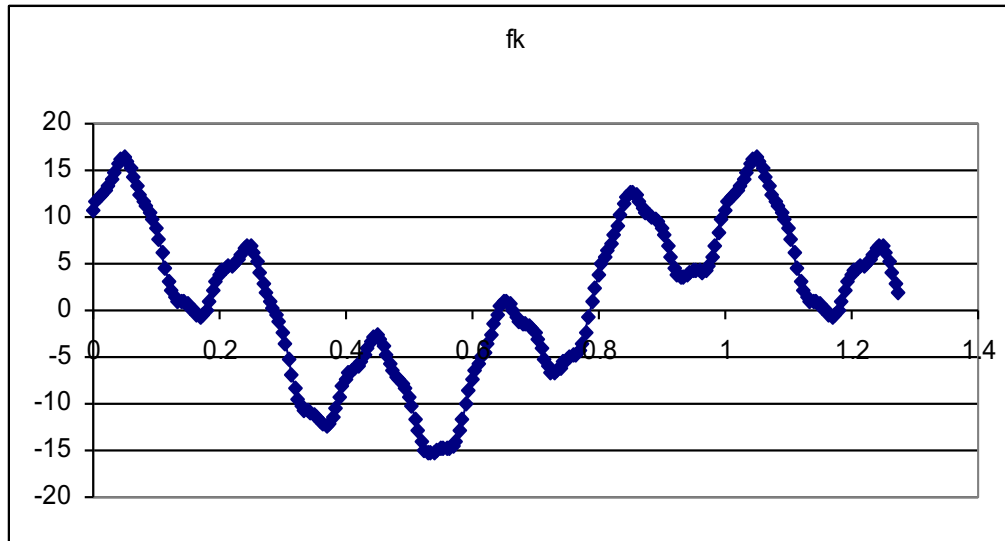


Outro exemplo

$$f_3(t) := 10 \cos(2 \pi t) + 6 \sin(10 \pi t) + .8 \cos(40 \pi t)$$

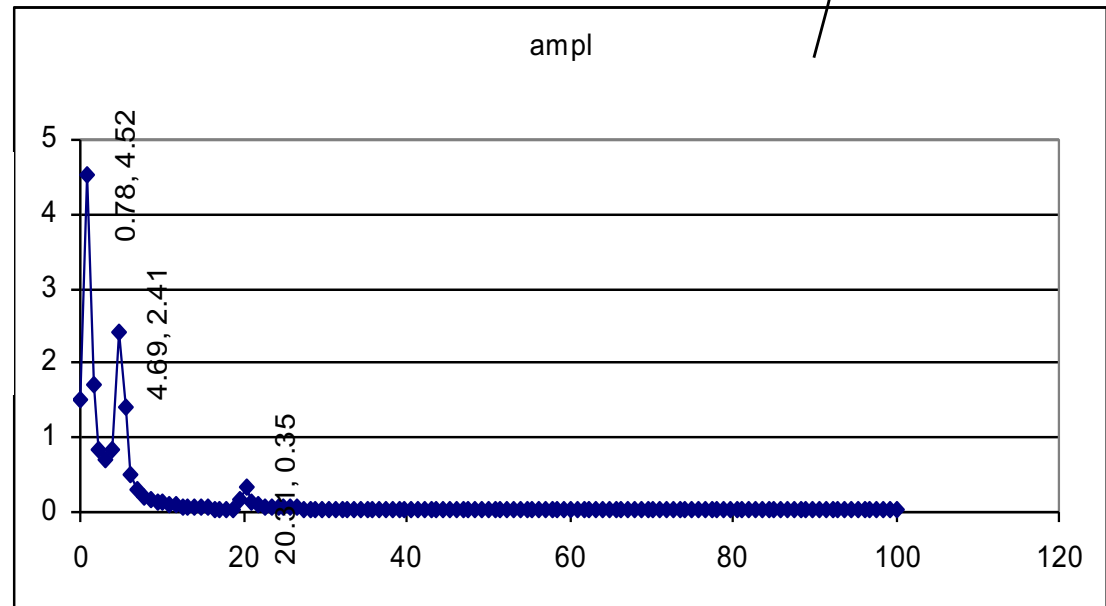


Transformada

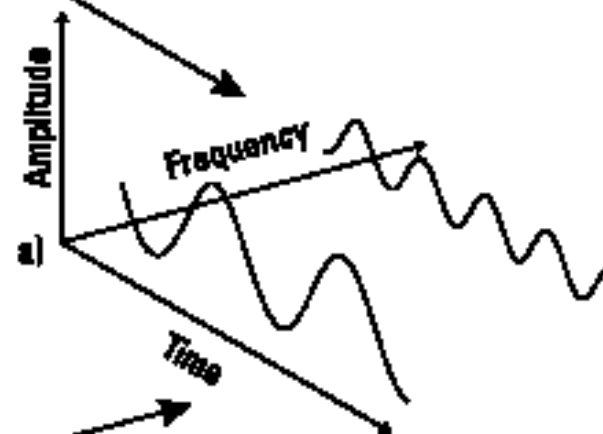
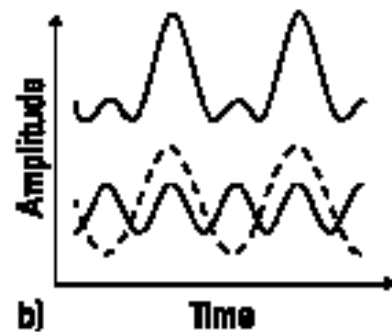
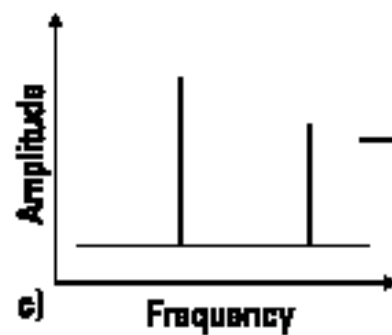
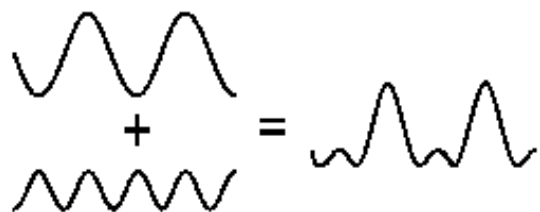


$$f_k \equiv \sum_{r=0}^{N-1} F_r e^{i\left(\frac{2\pi kr}{N}\right)}$$

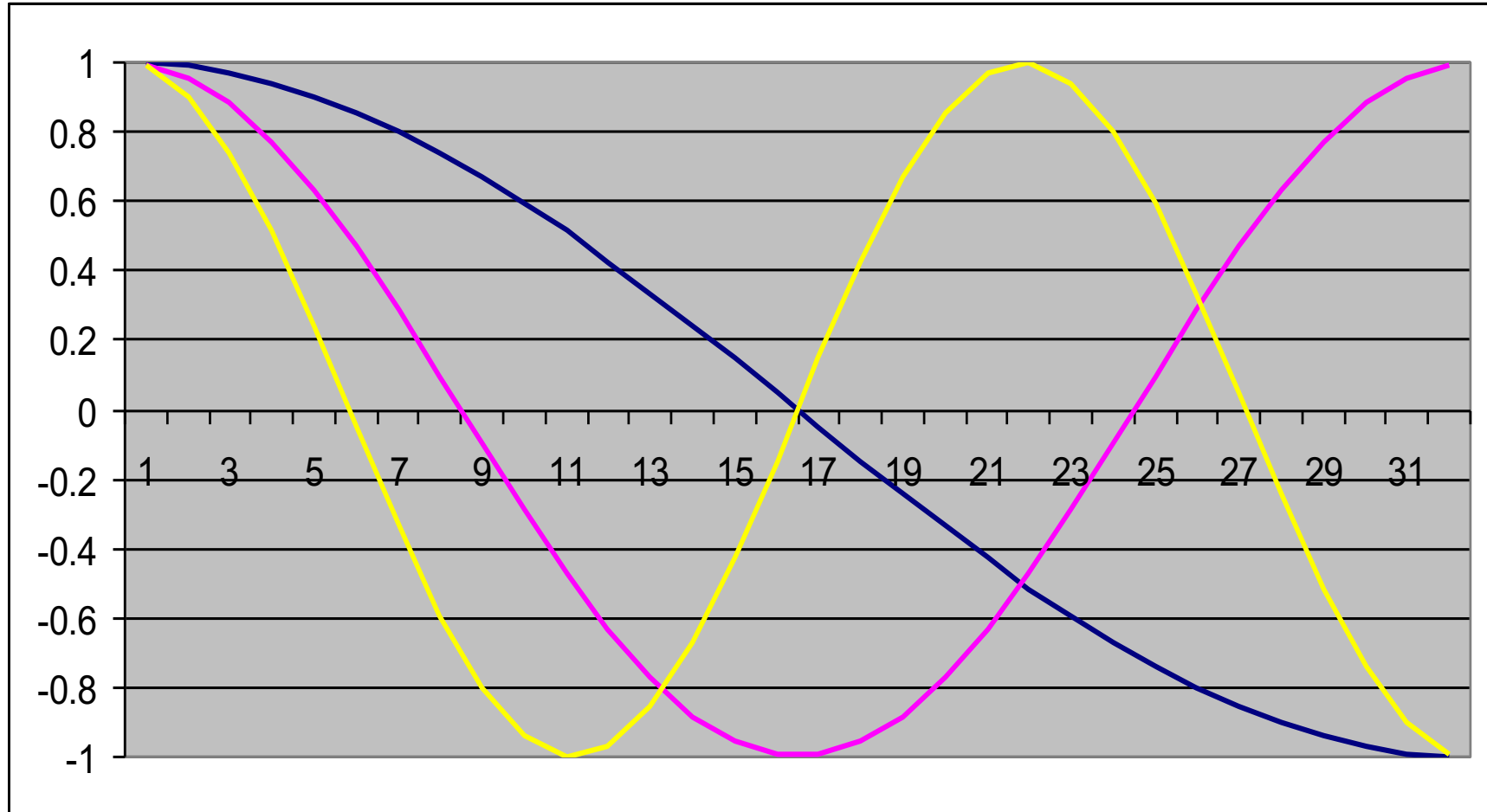
$$F_k \equiv \frac{1}{N} \sum_{s=0}^{N-1} f_s e^{-i\left(\frac{2\pi ks}{N}\right)}$$



Eixo de frequência



$$\cos\left(\alpha - \frac{\pi}{2}\right) = \text{sen}(\alpha)$$



o cosseno pode substituir o seno e ficarmos apenas com uma série de cossenos

Discrete Cosine Transformation (DCT)

$$C_k \equiv \frac{\Lambda(k)}{\sqrt{N}} \sum_{s=0}^{N-1} f_s \cos\left(\frac{(2s+1)k}{2N} \pi\right)$$

$$f_s \equiv \sum_{k=0}^{N-1} \frac{\Lambda(k)}{\sqrt{N}} C_k \cos\left(\frac{(2s+1)k}{2N} \pi\right)$$

$$\Lambda(k) = \begin{cases} 1 & k = 0 \\ \sqrt{2} & k \neq 0 \end{cases}$$

Filtro

- Um **filtro** é um operador que atenua ou realça uma determinada frequência
- Fácil de visualizar no domínio da frequência onde:

$$F(\omega) \leftarrow f(t)$$

$$H(\omega) = F(\omega)G(\omega)$$

$$h(t) \leftarrow H(\omega)$$

$h(t)$ é o $f(t)$ filtrado

Tipos de Filtros

$$H(\omega) = F(\omega)G(\omega)$$

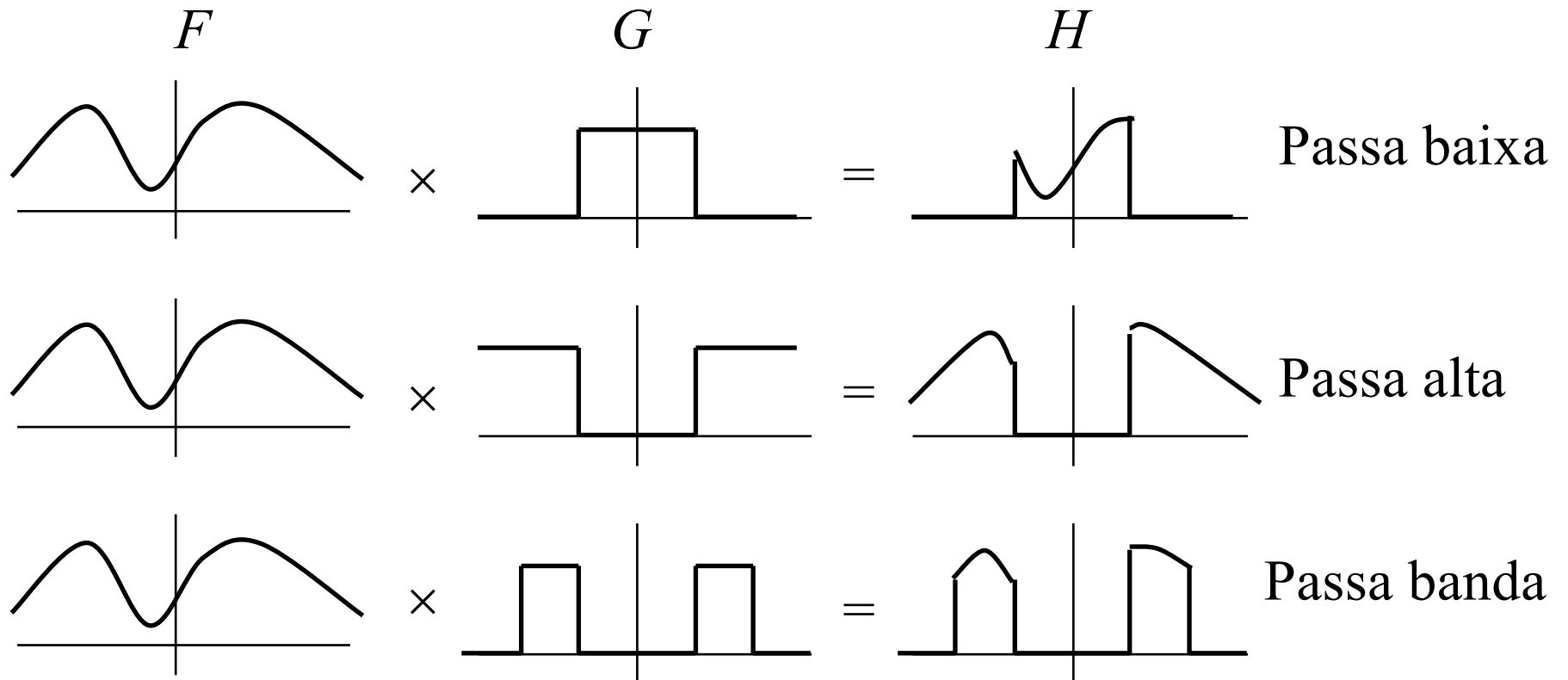
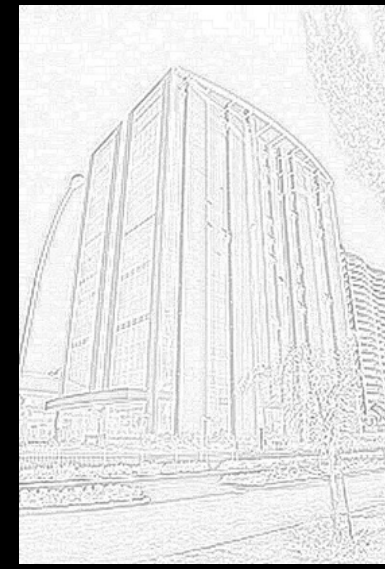


Imagem filtrada com um filtro passa baixa



Imagem filtrada com um filtro passa alta



Filtragem no domínio espacial

$$F(\omega) \leftarrow f(x) \quad G(\omega) \leftarrow g(x)$$

$$H(\omega) = F(\omega)G(\omega)$$

$$h(x) \leftarrow H(\omega)$$

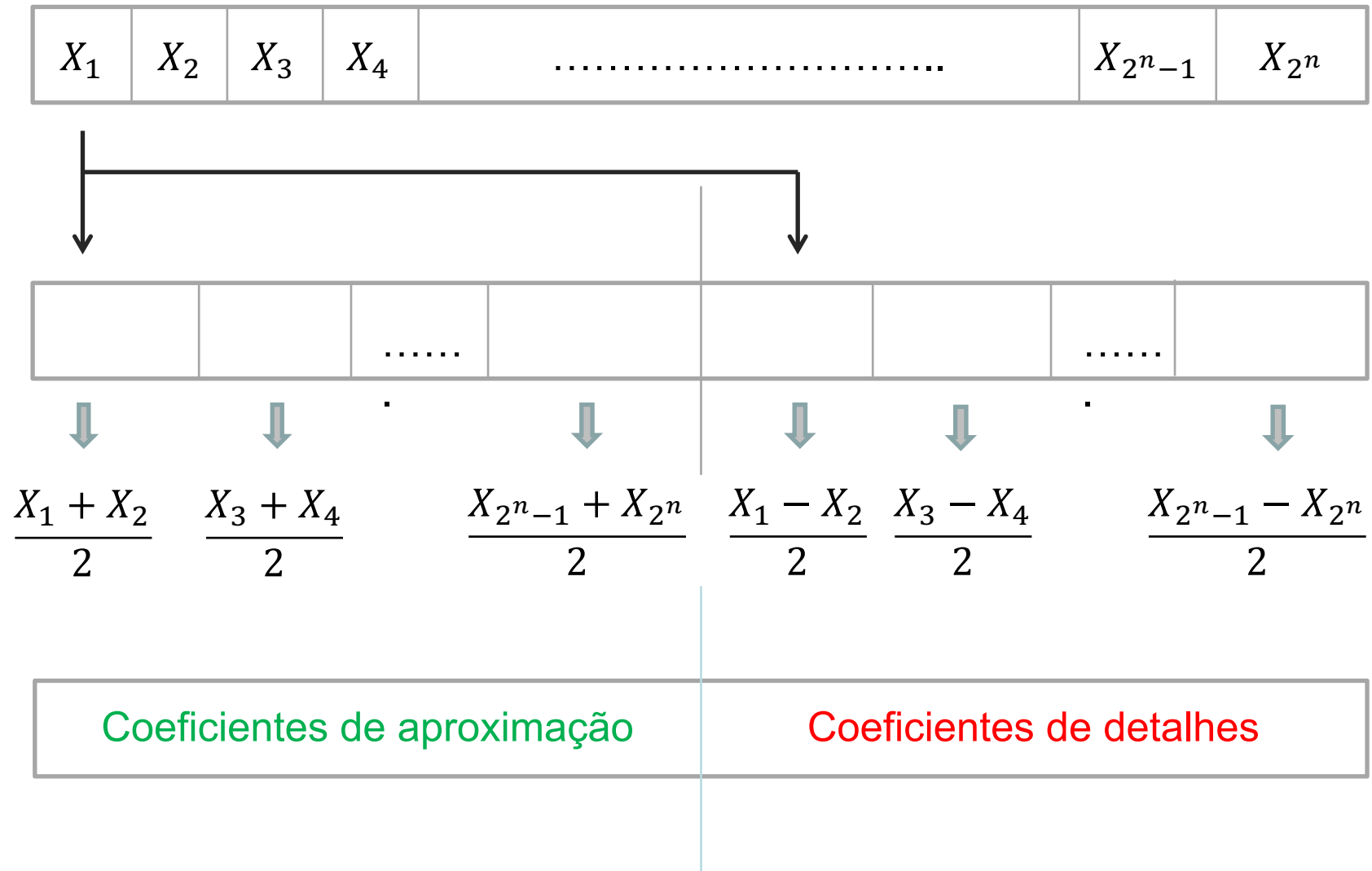
ou:

$$h(x) = f \otimes g = \int_{-\infty}^{\infty} f(u)g(x-u)du$$

- Filtragem no domínio espacial é feita pela *convolution* (o vice-versa)

Na realidade é ao contrário: a TF é uma ferramenta para filtragem.

Transformada Haar



Transformada Haar

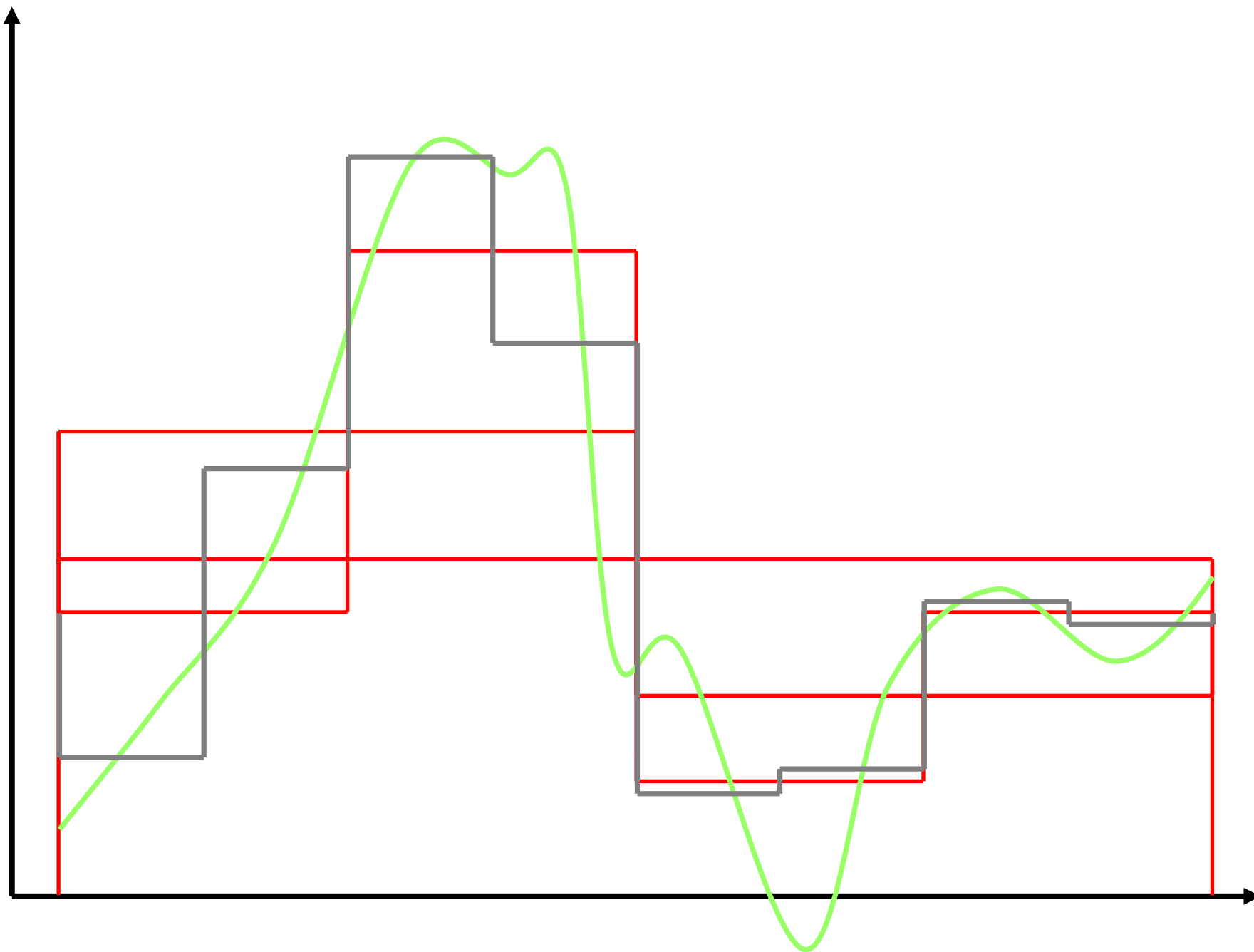
10	4	6	12	8	4	2	6
----	---	---	----	---	---	---	---

7	9	6	4	3	-3	2	-2
---	---	---	---	---	----	---	----

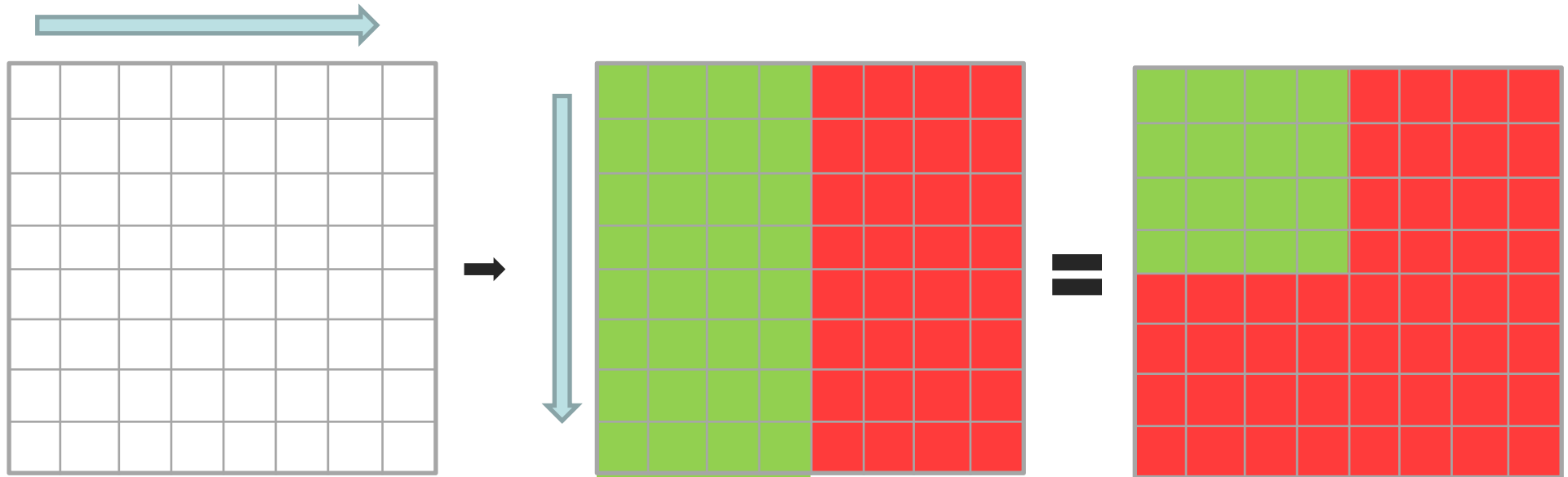
8	5	-1	1	3	-3	2	-2
---	---	----	---	---	----	---	----

6,5	1,5	-1	1	3	-3	2	-2
-----	-----	----	---	---	----	---	----

Três iterações de Haar sobre um vetor



Transformada Haar



Aplicando a
transformada de
Haar na horizontal

Aplicando a
transformada de Haar
na vertical

Matriz resultante

**Uma iteração da transformada de Haar sobre
uma matriz**

Transformada de Haar

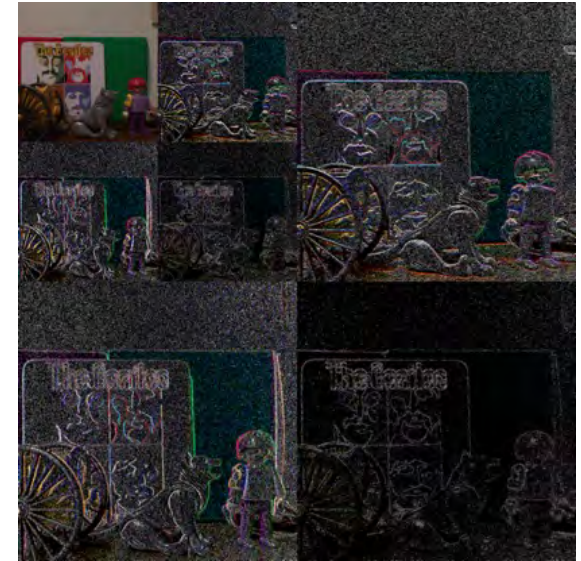
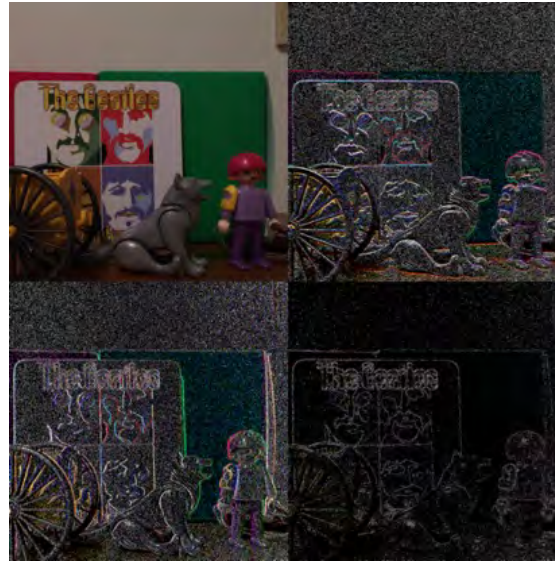


Imagem Digital

Conceitos, Processamento e Análise

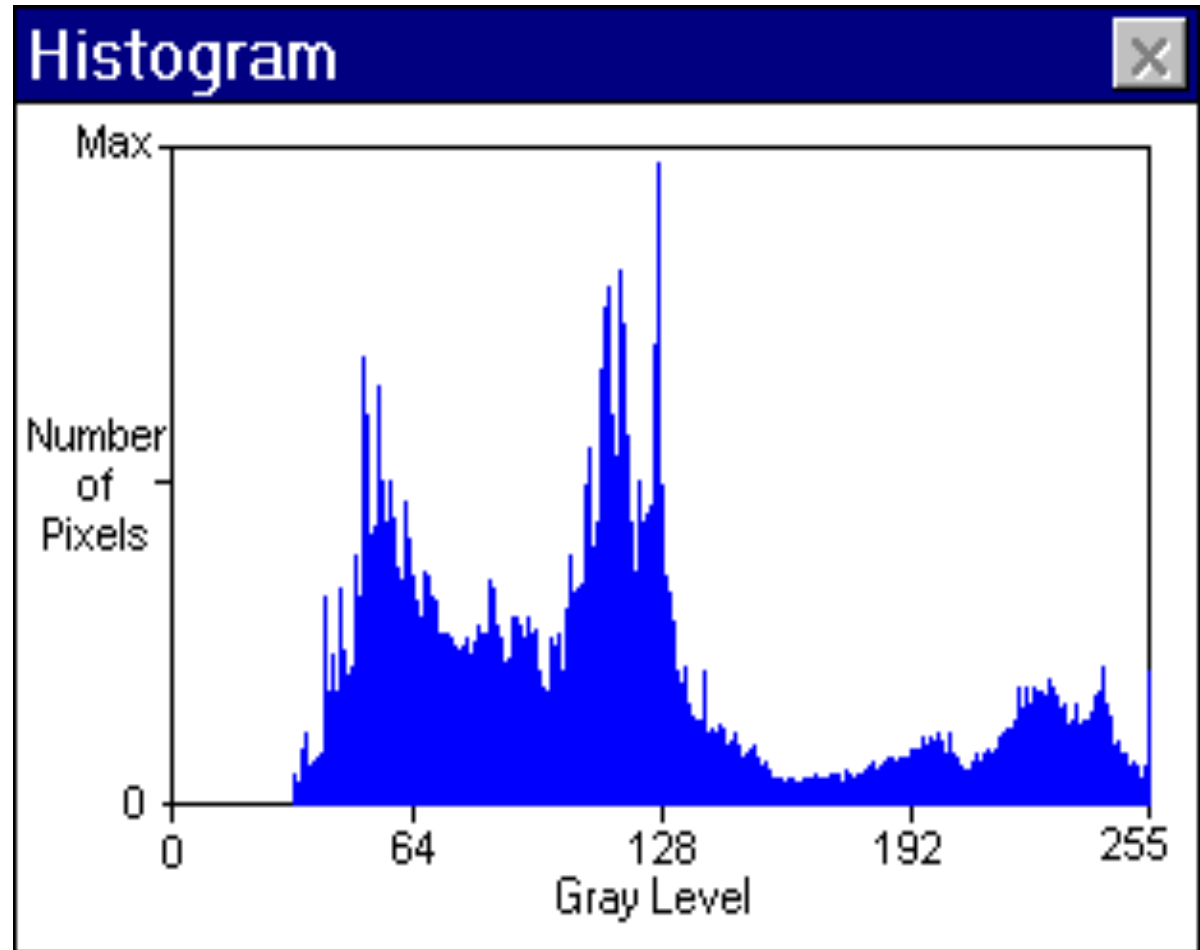


Parte 3 - Processamentos apenas no espaço das cores

PROCESSAMENTO NO ESPAÇO DE COR₃

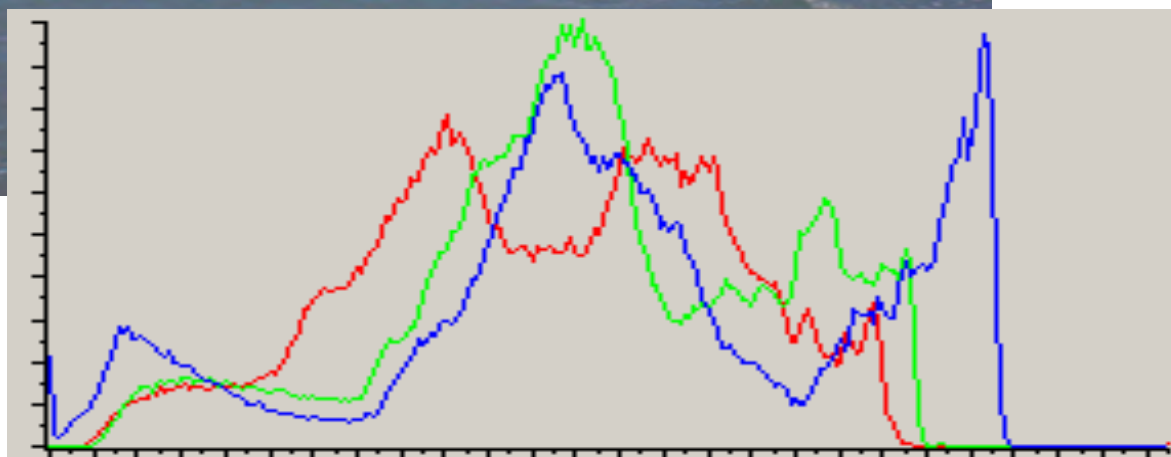
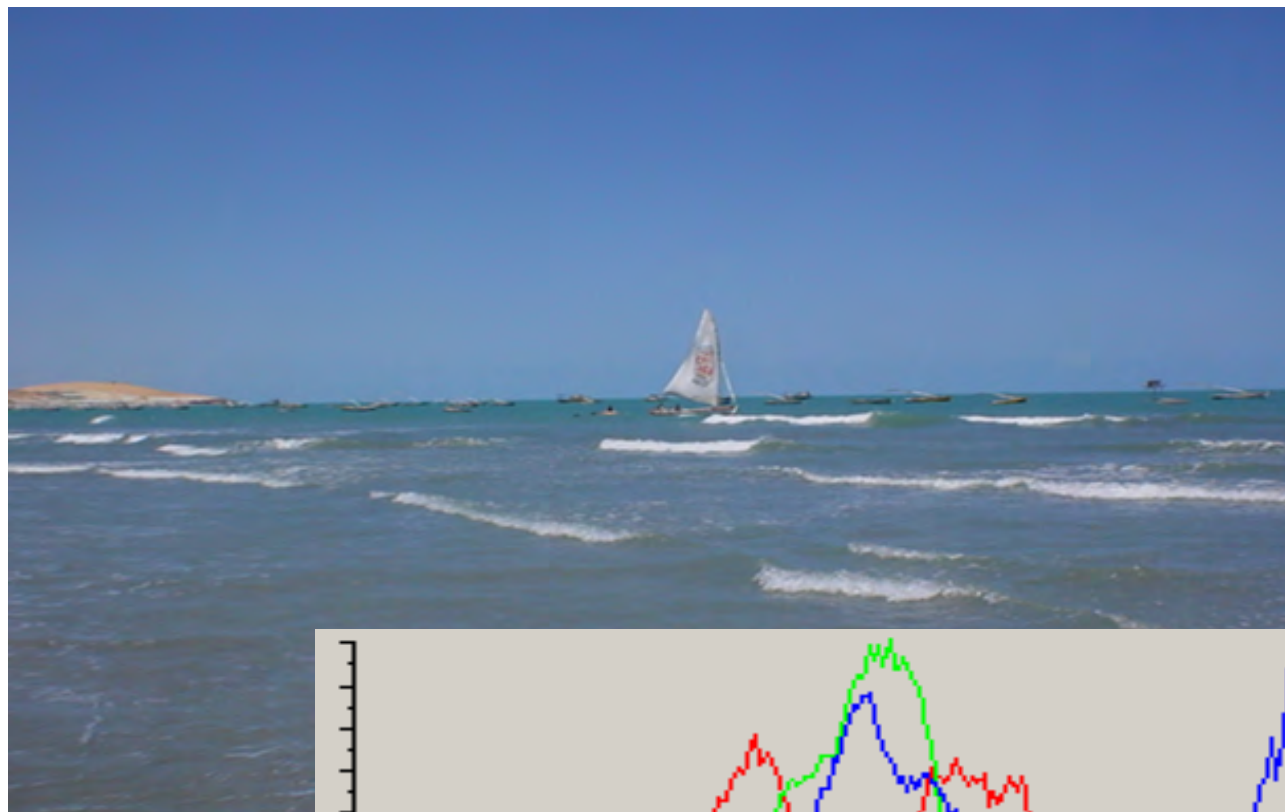
- Correção gama
- Equalização de histograma
- Quantização de cores
- Superpixels

Histogramas da Função



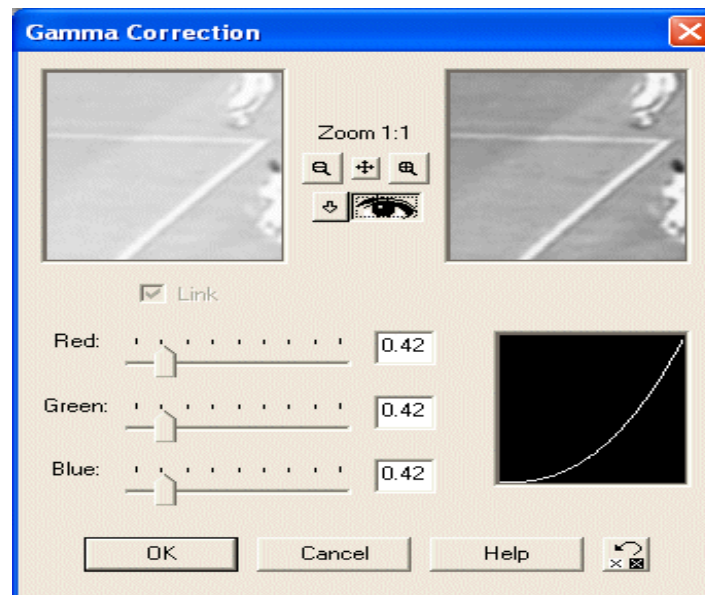
Uma outra maneira de ver a informação da imagem: probabilidade de ocorrência de um determinado valor, uso do intervalo $[0,255]$, contraste,...

Histogramas de Imagem Colorida



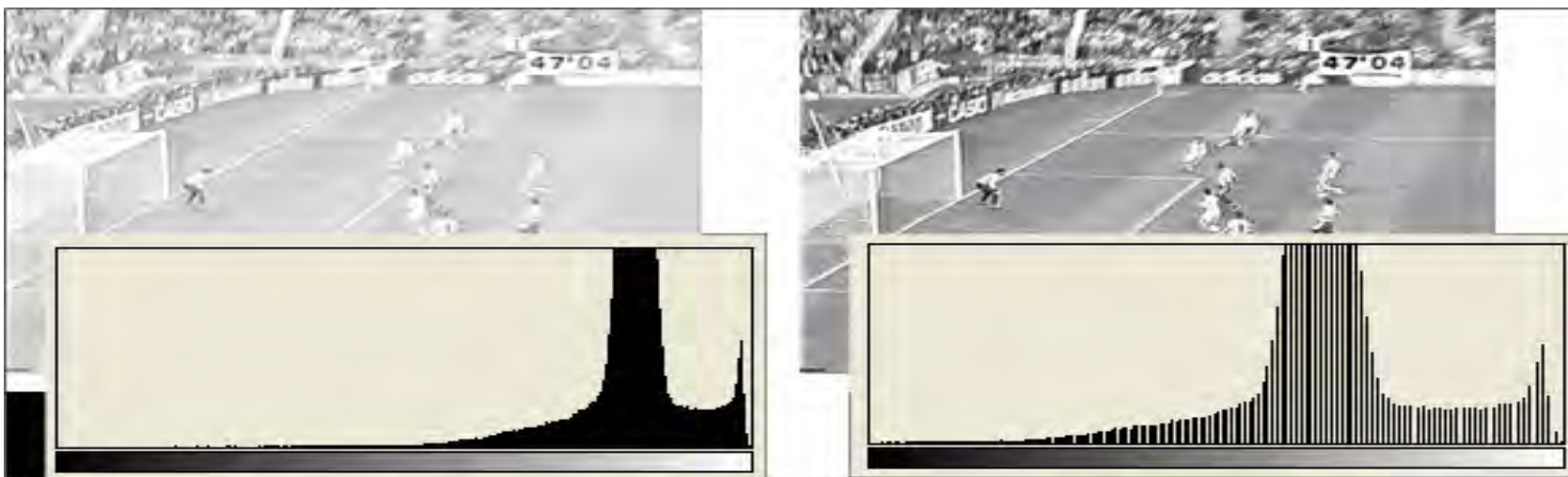
Correção gama

Ajustes de contraste e iluminação



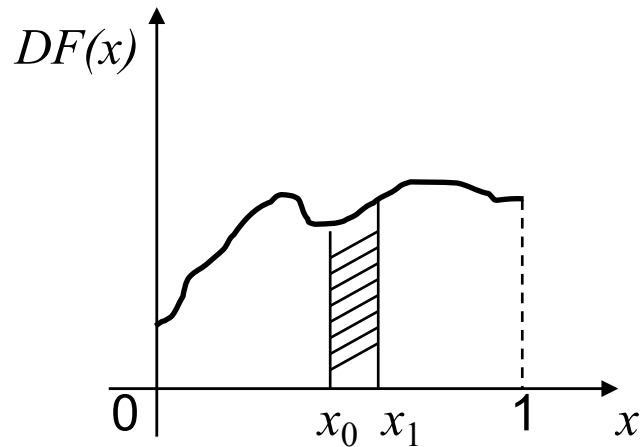
Correção gama

$$L \leftarrow \sqrt[\gamma]{L}$$



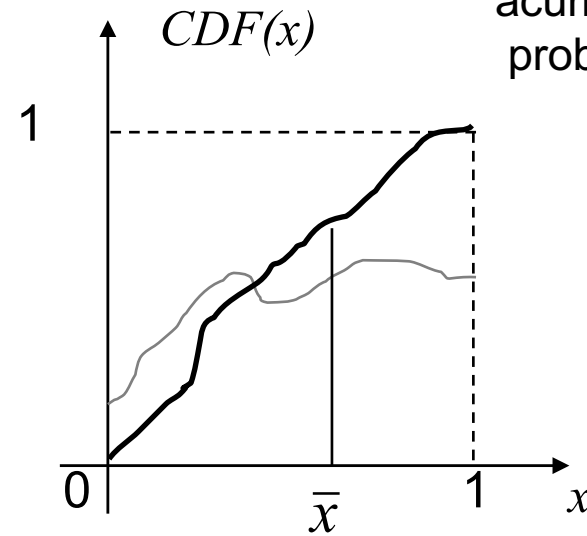
Probabilidade

Função de densidade de probabilidade



$$P\{x_0 \leq x < x_1\} = \int_{x_0}^{x_1} DF(x) dx$$

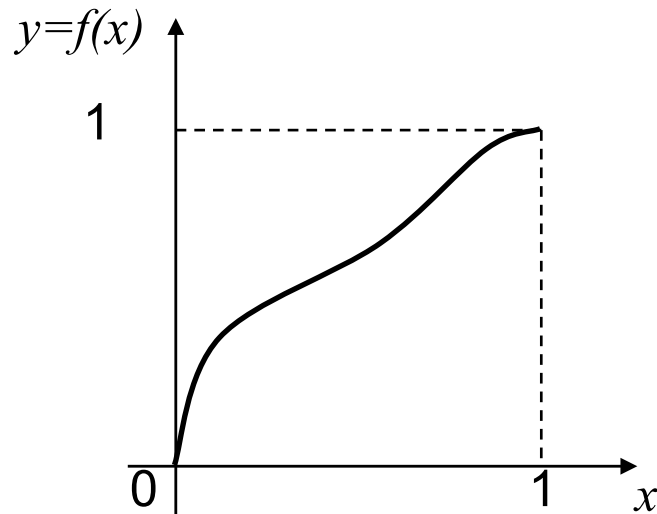
Função de densidade acumulada de probabilidade



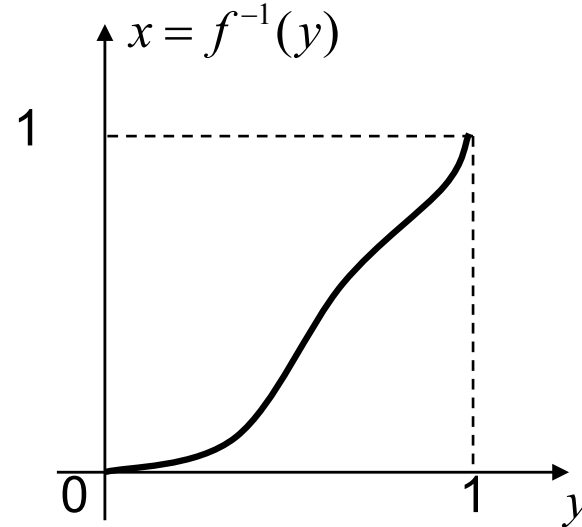
$$CDF(\bar{x}) = P\{0 \leq x < \bar{x}\} = \int_0^{\bar{x}} DF(x) dx$$

$$DF(x) = \frac{d}{dx} CDF(\bar{x})$$

Mudança de variavel $y = f(x)$



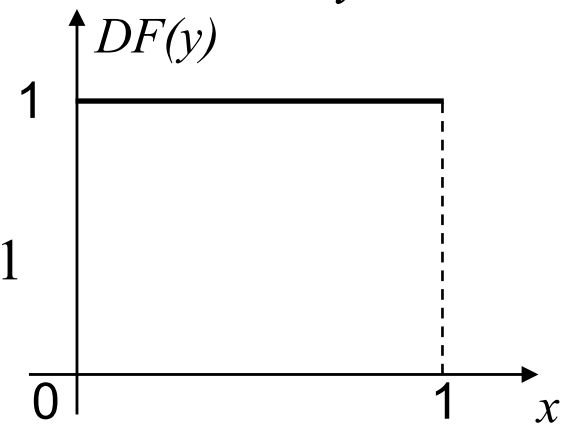
Transformação
o monotônica
e limitada ao
intervalo $[0,1]$



$$DF(y) = \frac{d}{dy} CDF(y) = \frac{d}{dx} CDF(x) \frac{dx}{dy} = DF(x) \frac{dx}{dy}$$

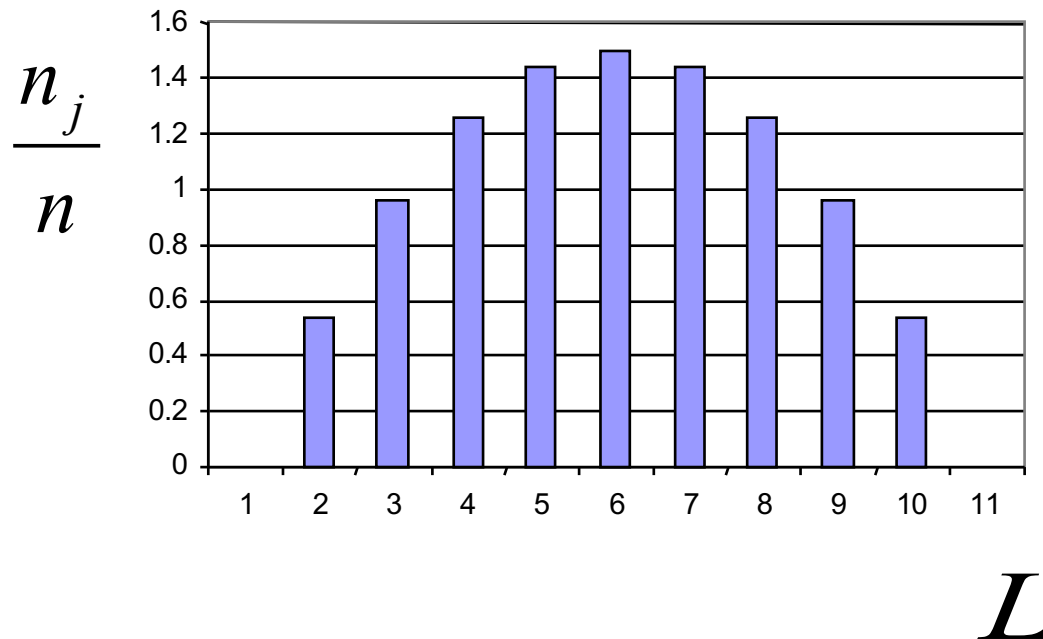
$$f(x) = CDF(x) \quad \frac{dy}{dx} = DF(x)$$

$$DF(y) = \frac{DF(x)}{DF(x)} = 1$$



Equalização de Histograma

$$L' = f(L) = \sum_{j=0}^L \frac{n_j}{n}$$



Equalização do histograma



Tons de cinza e negativo

$$L_{x,y} = 0.299R_{x,y} + 0.587G_{x,y} + 0.114B_{x,y}$$



———— tons de cinza ———→

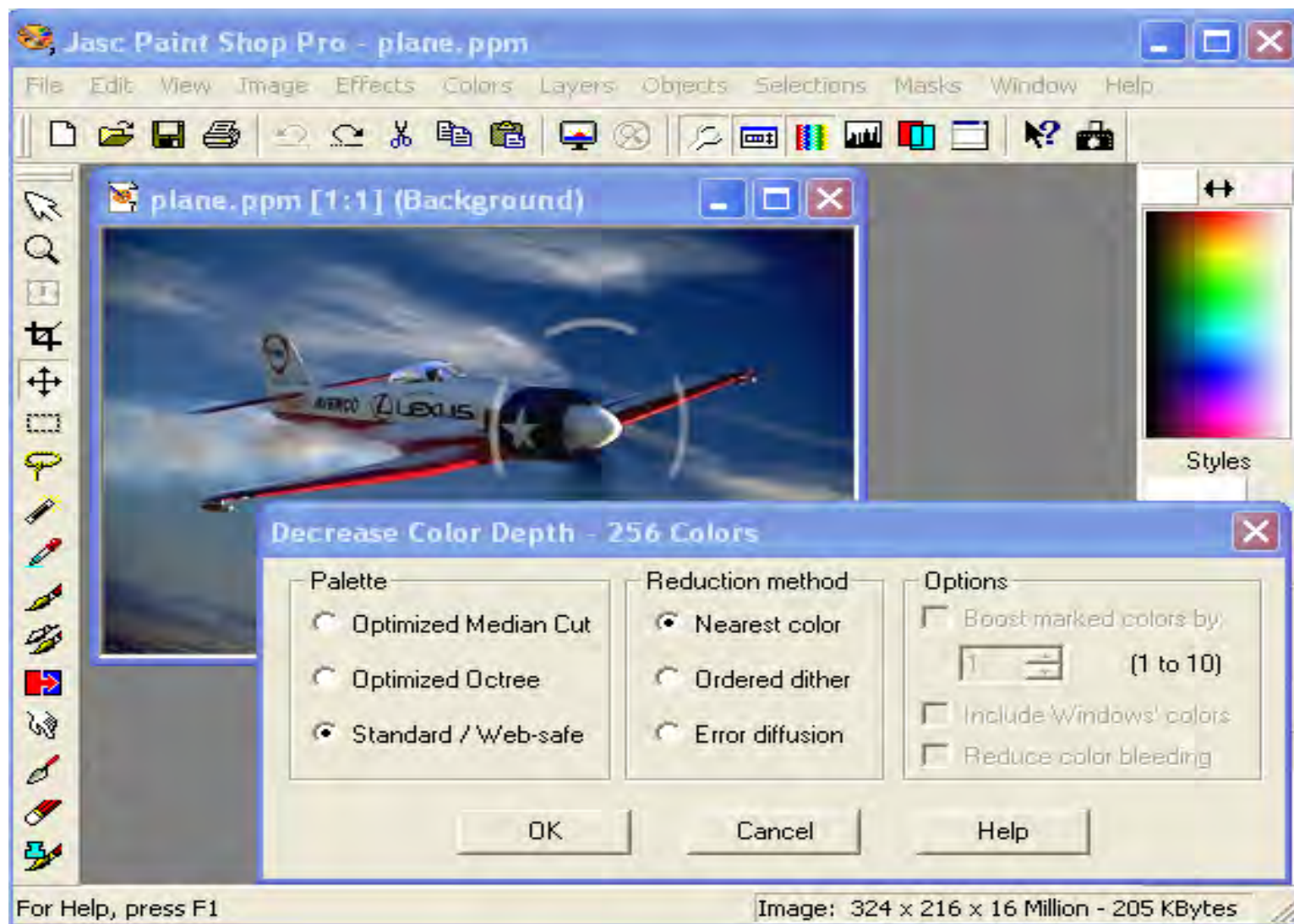


$$L_{x,y} = 255 - L_{x,y}$$

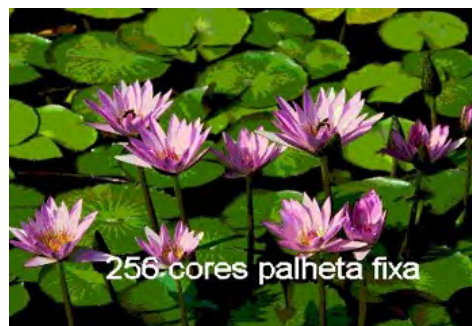
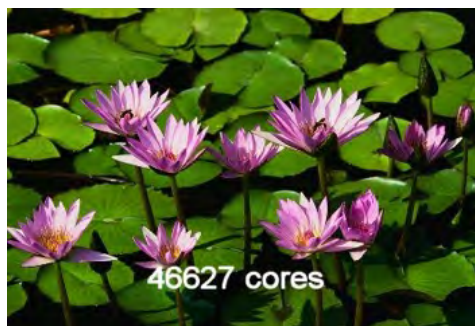


Quantização de cores

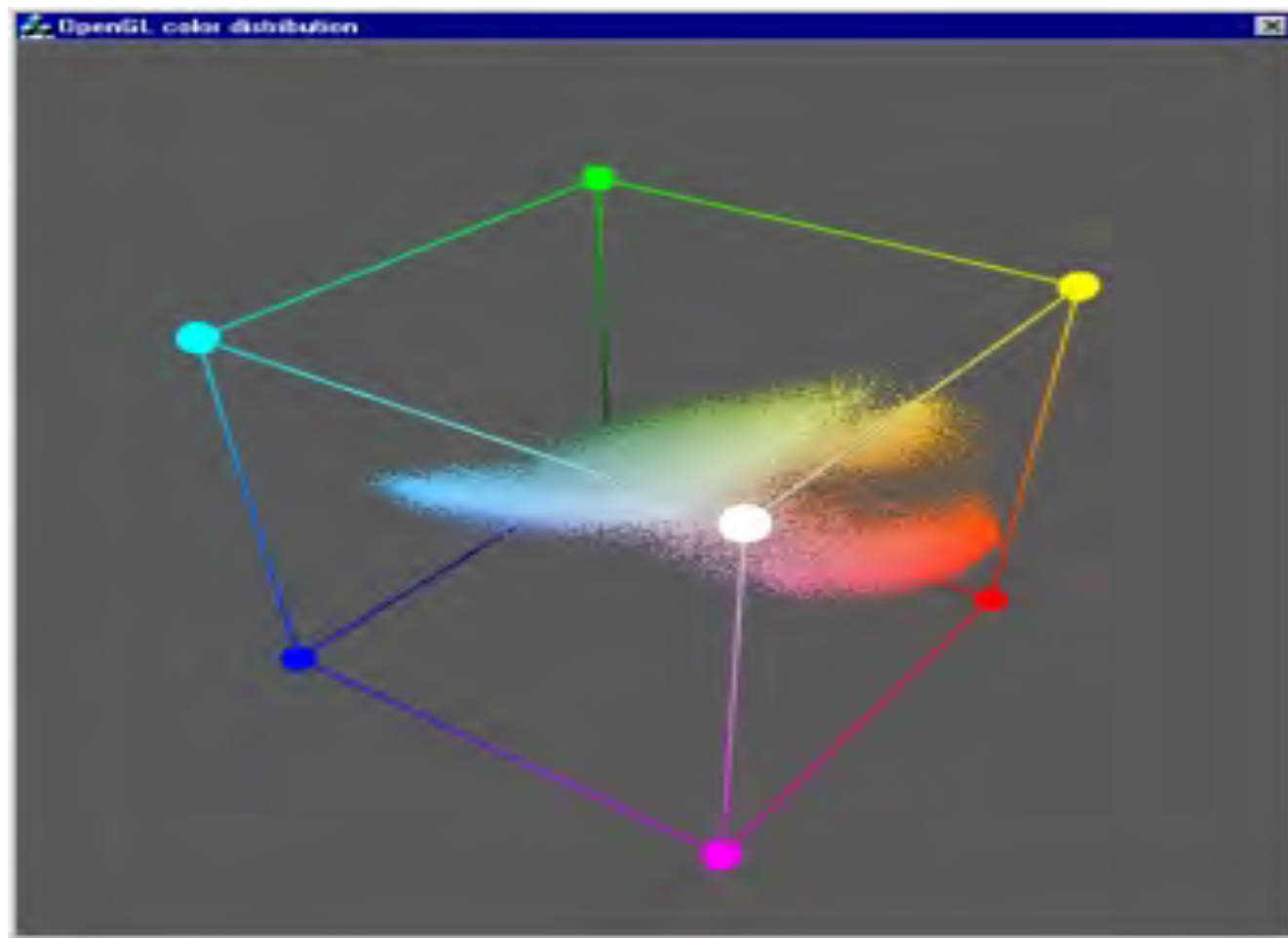
Quantização de 24 para 8 *bits*



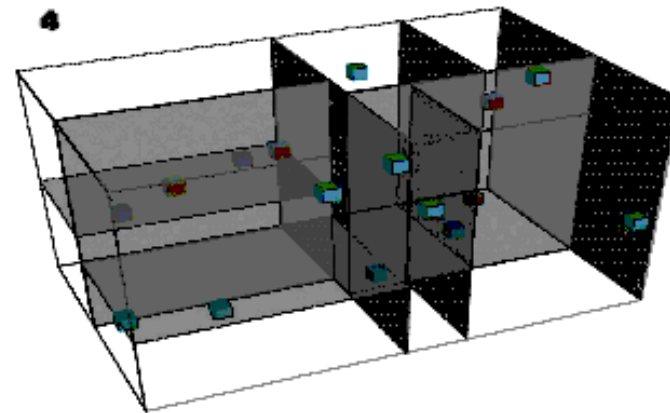
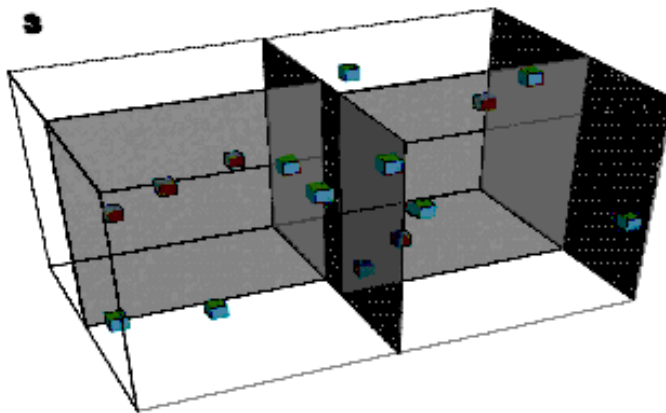
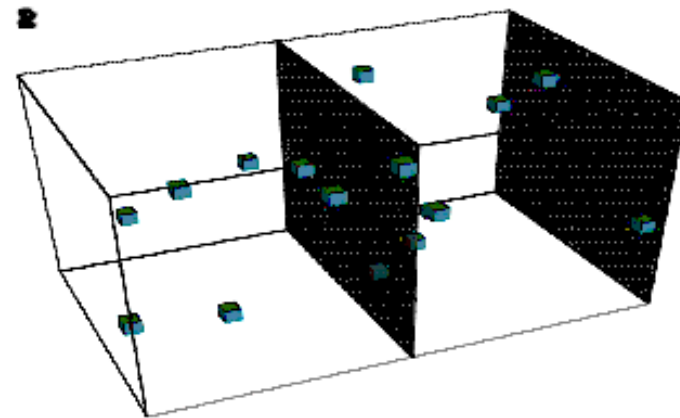
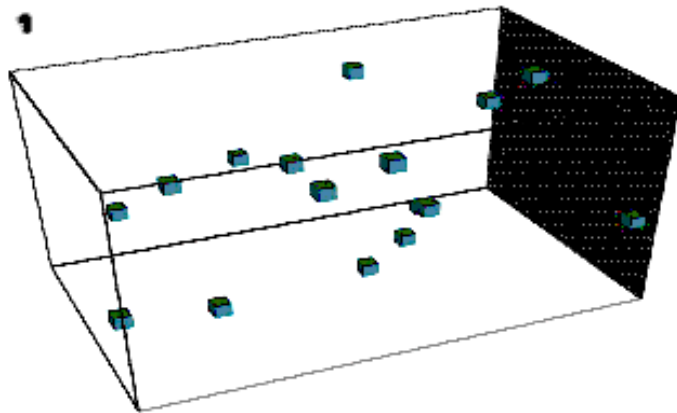
A qualidade depende da imagem



Corte mediano



Corte mediano



ARMAZENAMENTO DE IMGES

Compressão

Um pouco de teoria da informação

Codificação uniforme

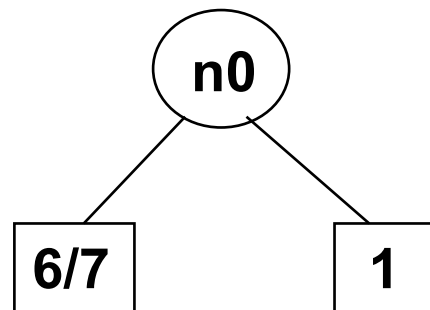
		Uniforme		
tons	# <i>pixels</i>	código	tam.	# <i>bits</i>
0	1900	000	3	5700
1/7	2500	001	3	7500
2/7	2100	010	3	6300
3/7	1600	011	3	4800
4/7	800	100	3	2400
5/7	600	101	3	1800
6/7	300	110	3	900
1	200	111	3	600
		TOTAL		30000

Podemos melhorar?

Construção da Árvore Huffman

1/7	2500
2/7	2100
0	1900
3/7	1600
4/7	800
5/7	600
6/7	300
1	200

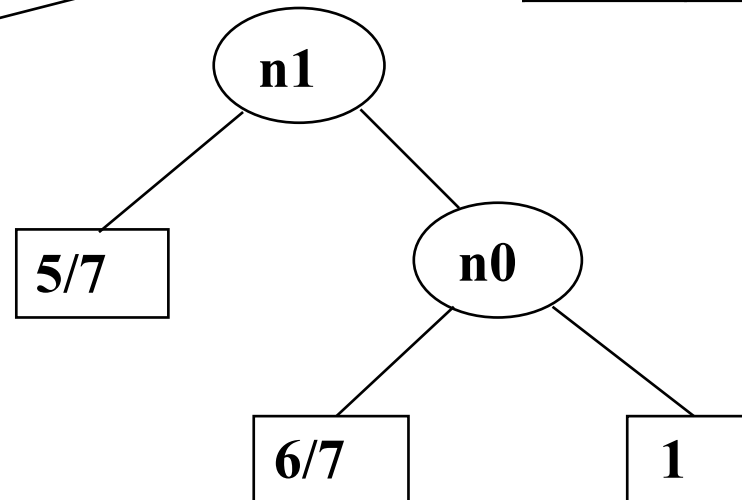
1/7	2500
2/7	2100
0	1900
3/7	1600
4/7	800
5/7	600
n0	500



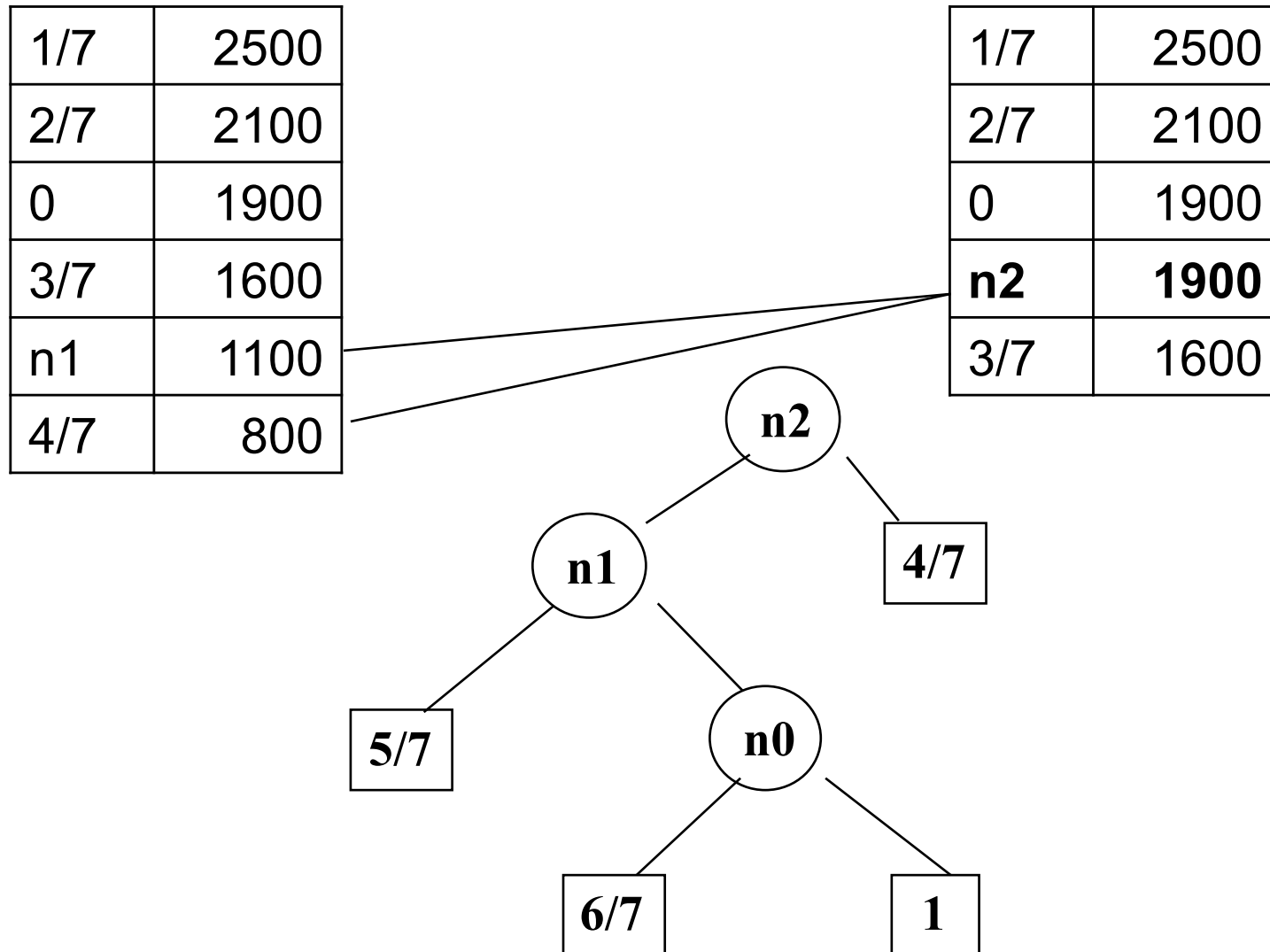
Construção da Árvore Huffman

1/7	2500
2/7	2100
0	1900
3/7	1600
4/7	800
5/7	600
n0	500

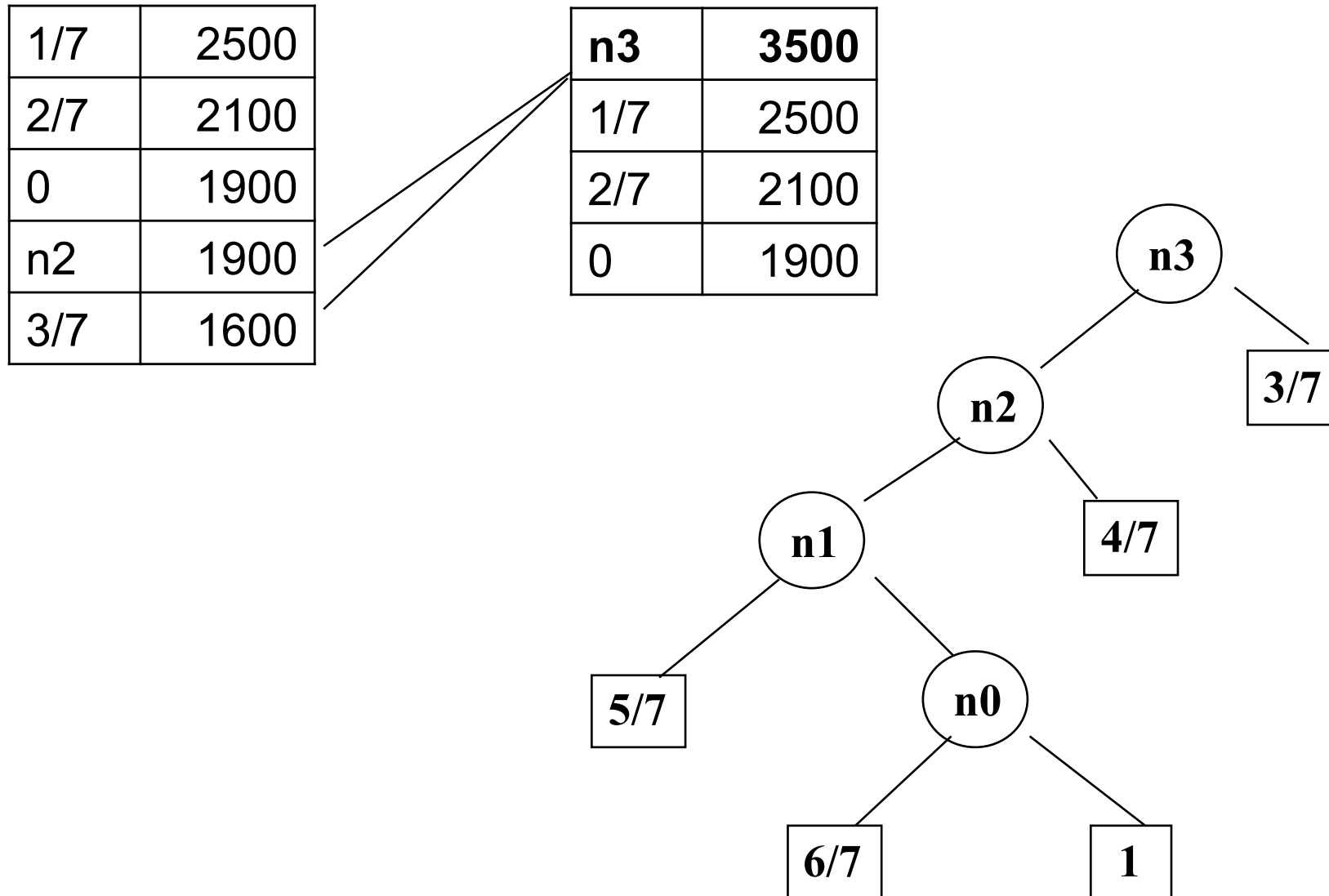
1/7	2500
2/7	2100
0	1900
3/7	1600
n1	1100
4/7	800



Construção da Árvore Huffman



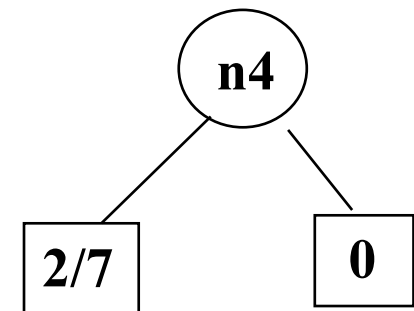
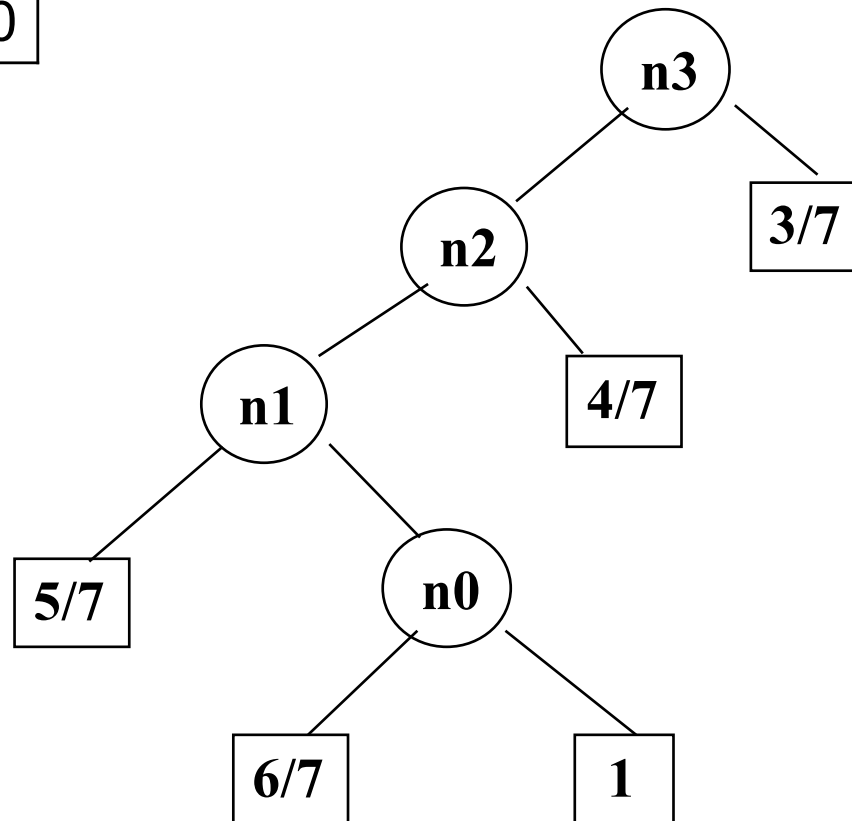
Construção da Árvore Huffman



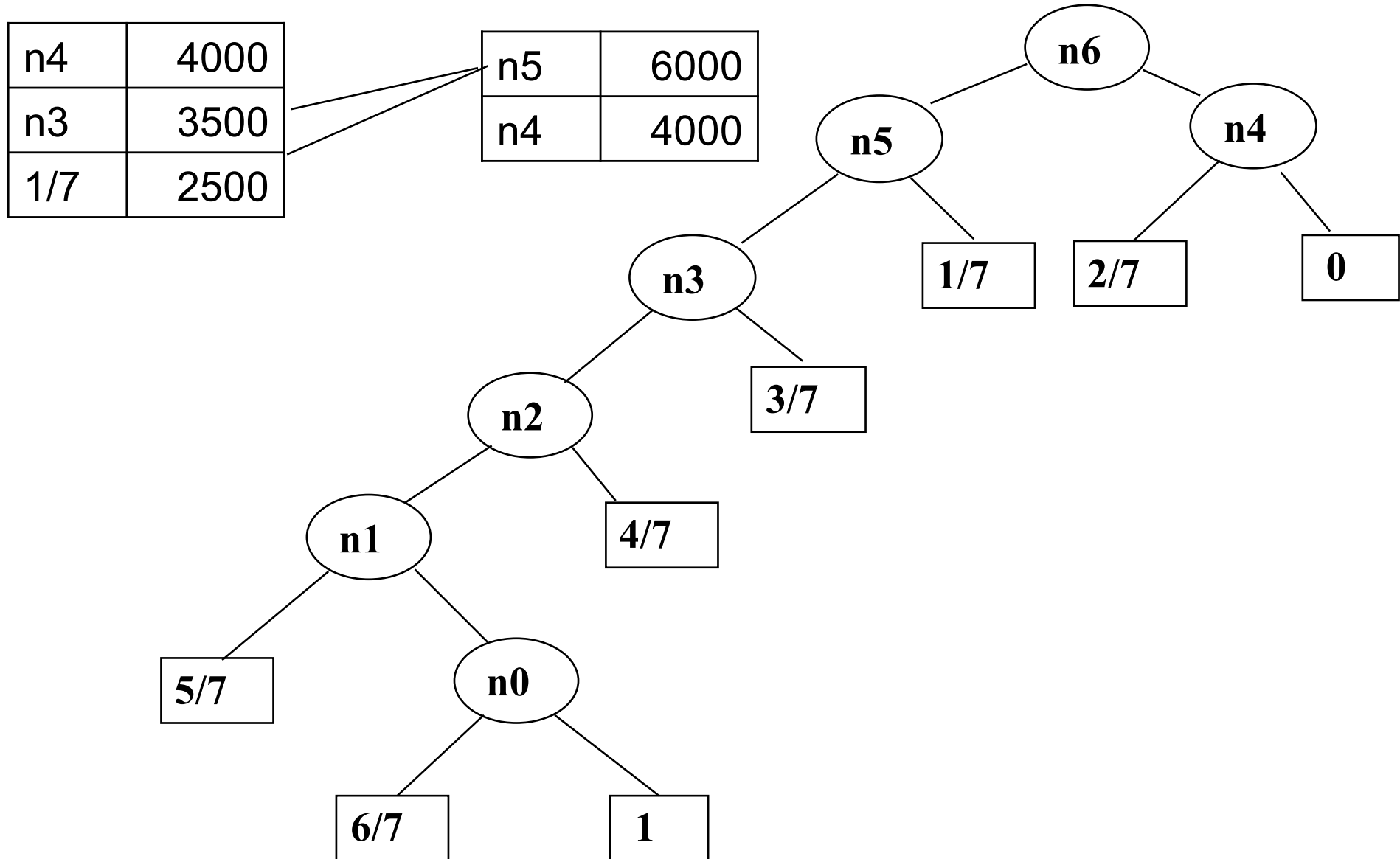
Construção da Árvore Huffman

n3	3500
1/7	2500
2/7	2100
0	1900

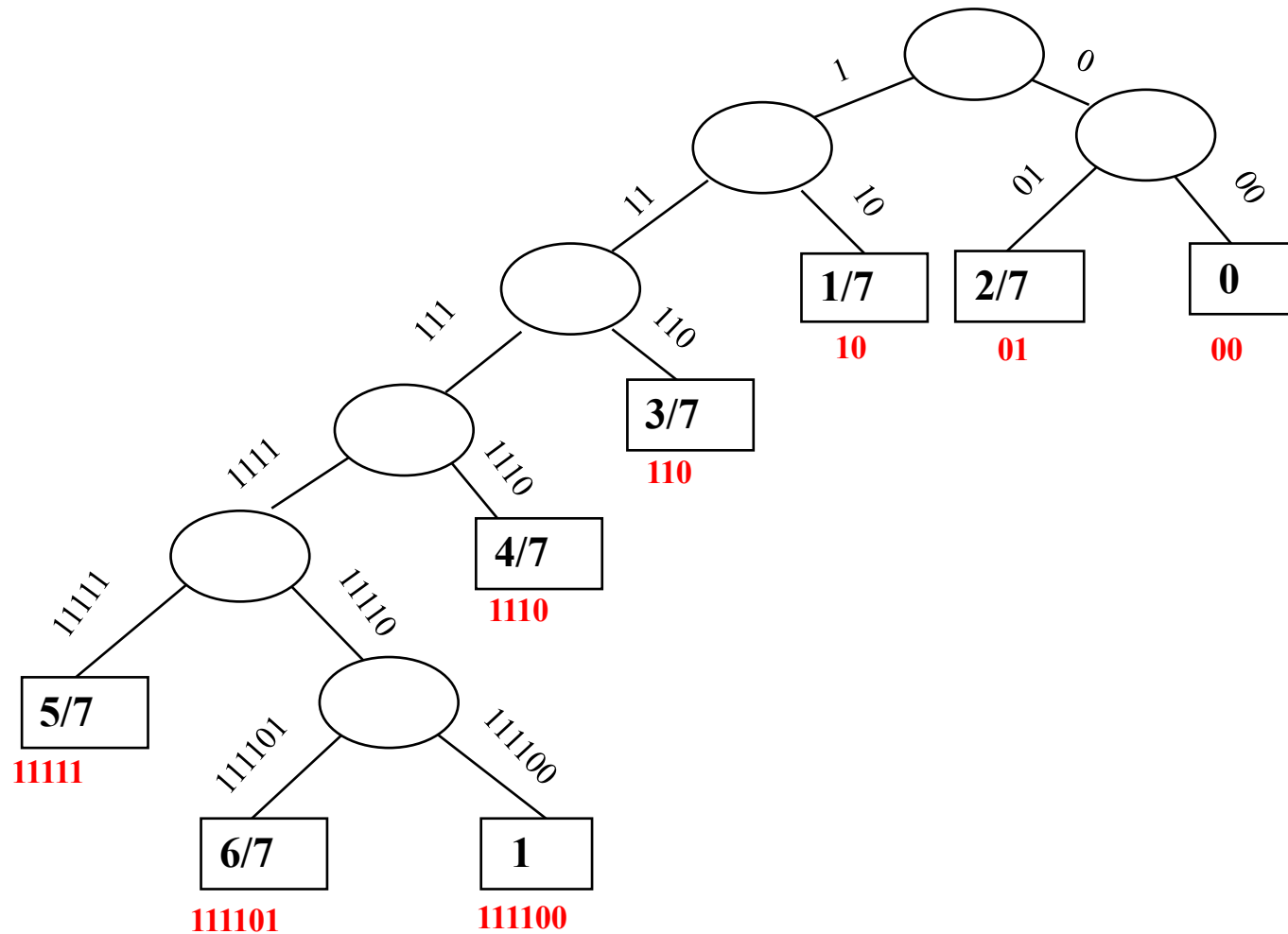
n4	4000
n3	3500
1/7	2500



Construção da Árvore Huffman



Construção da Árvore Huffman



Codificação de Huffman

		Uniforme			Huffman		
tons	# <i>pixels</i>	código	tam.	# <i>bits</i>	código	tam.	# <i>bits</i>
0	1900	000	3	5700	00	2	3800
1/7	2500	001	3	7500	10	2	5000
2/7	2100	010	3	6300	01	2	4200
3/7	1600	011	3	4800	110	3	4800
4/7	800	100	3	2400	1110	4	3200
5/7	600	101	3	1800	11111	5	3000
6/7	300	110	3	900	111101	6	1800
1	200	111	3	600	111100	6	1200
		TOTAL		30000	TOTAL		27000

Redundância de Codificação

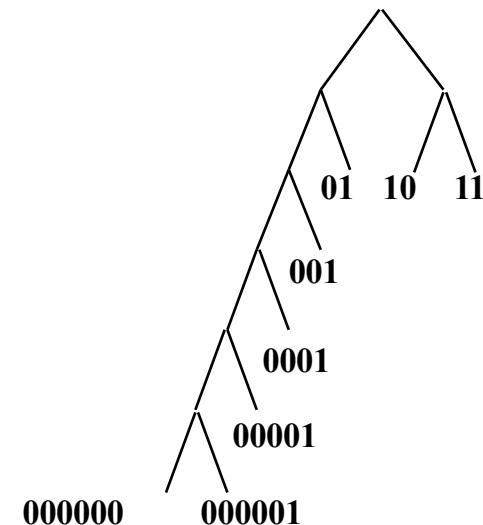
r	$p(r)$	Code 1	$l(r)$	$l(r)p(r)$	Code 2	$l(r)$	$l(r)p(r)$
0	0.19	000	3	0.57	11	2	0.38
1/7	0.25	001	3	0.75	01	2	0.50
2/7	0.21	010	3	0.63	10	2	0.42
3/7	0.16	011	3	0.48	001	3	0.48
4/7	0.08	100	3	0.24	0001	4	0.32
5/7	0.06	101	3	0.18	00001	5	0.30
6/7	0.03	110	3	0.09	000001	6	0.18
1	0.02	111	3	0.06	000000	6	0.12
	1.00	$L_{avg} =$		3.00	$L_{avg} =$		2.70

r_k = tons de cinza em uma imagem, $k=0, 1, \dots, \tau-1$

$$p(r_k) = n_k / n$$

onde n_k = número de pixels com tom r_k
 n = número de pixels da imagem

$$L_{avg} = \sum_{k=0}^{\tau-1} l(r_k)p(r_k)$$

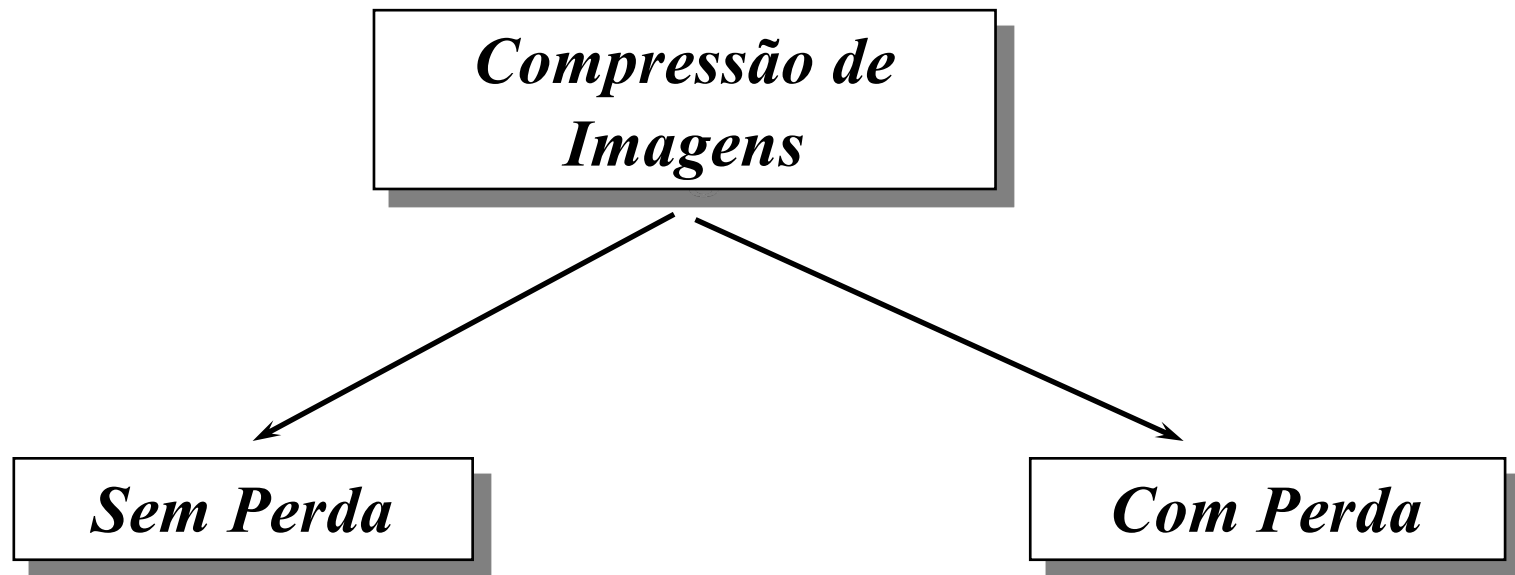


Resultado da Teoria da Informação

$$l_{opt}(r_k) = \log_2 \left(\frac{1}{p(r_k)} \right) \quad \text{número de bits}$$

r	$p(r)$	Code 1	$l(r)$	$l(r)p(r)$	Code 2	$l(r)$	$l(r)p(r)$	$\log(1/p)$	$\log(1/p)*p$
0	0.19	000	3	0.57	11	2	0.38	2.4	0.46
1/7	0.25	001	3	0.75	01	2	0.50	2.0	0.50
2/7	0.21	010	3	0.63	10	2	0.42	2.3	0.47
3/7	0.16	011	3	0.48	001	3	0.48	2.6	0.42
4/7	0.08	100	3	0.24	0001	4	0.32	3.6	0.29
5/7	0.06	101	3	0.18	00001	5	0.30	4.1	0.24
6/7	0.03	110	3	0.09	000001	6	0.18	5.1	0.15
1	0.02	111	3	0.06	000000	6	0.12	5.6	0.11
$\Sigma=1.00$		$L_{avg} = 3.00$			$L_{avg} = 2.70$			$L_{opt} = 2.65$	

Compressão de imagens



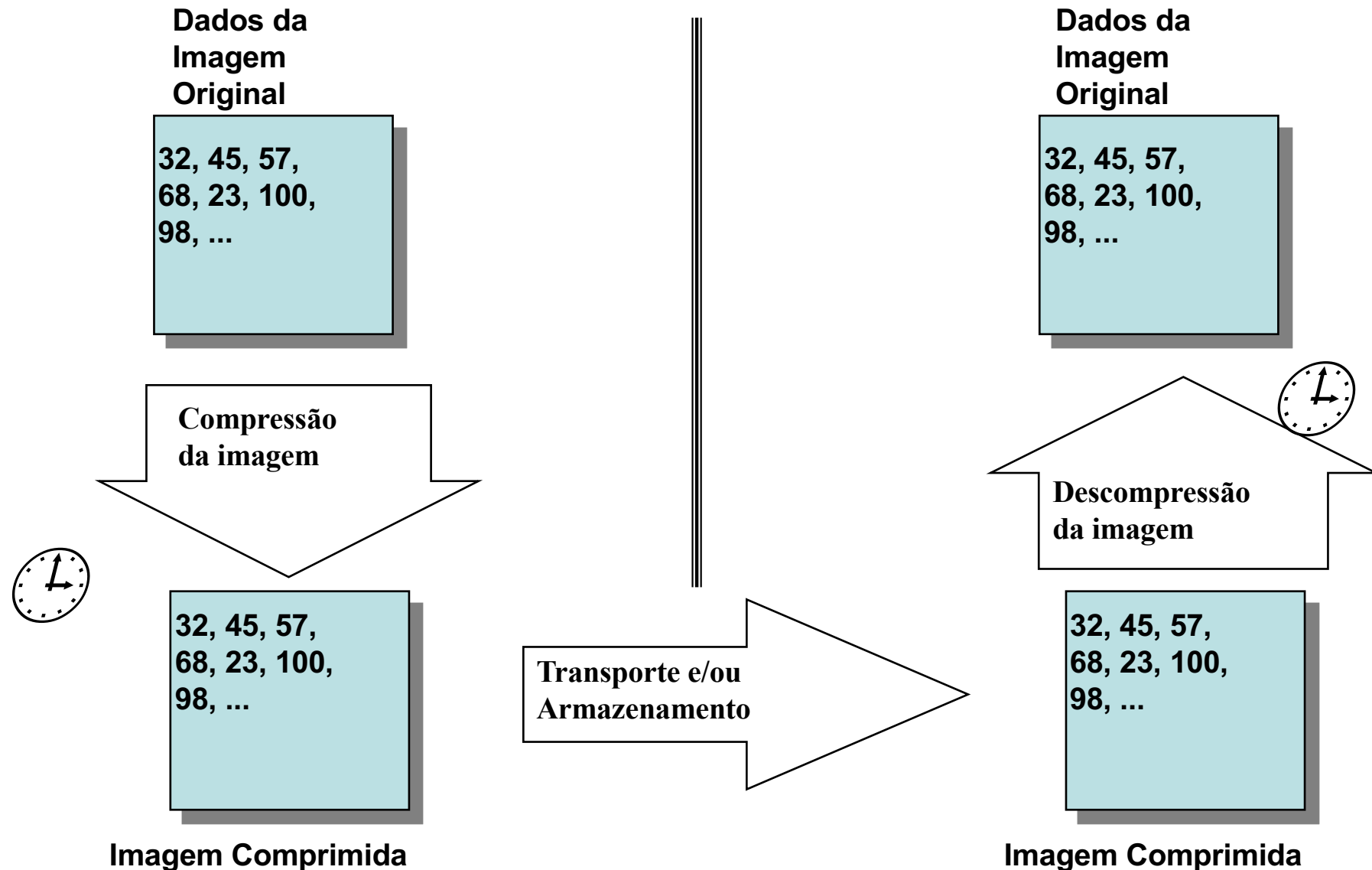
- Preserva exatamente o conteúdo da imagem
- Taxas de compressão 3 : 1

- Preserva de forma controlada o nível de qualidade da imagem
- Taxas de compressão que chegam a valores de mais de 100 : 1

Métodos de compressão

- *Sem perdas*
 - *Run length encoding (RLE) - repetição*
 - *Huffman coding - histograma*
 - *Predictive coding - diferenças*
 - *Block coding (LZW) - dicionário*
- *Com perdas*
 - *Truncation coding - reduz a representação*
 - *Predictive coding - descarta diferenças altas*
 - *Block coding - dicionário aproximado*
 - *Transform coding - descarta frequências altas*

Processo de compressão e descompressão

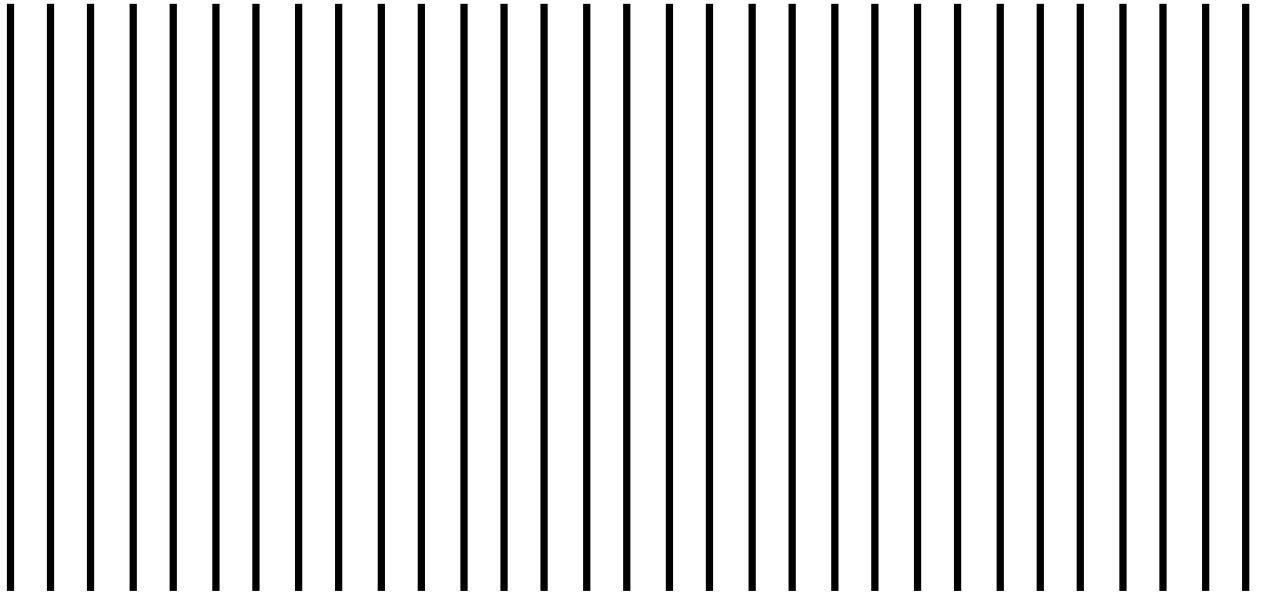


Fundamentos da Compressão de Imagens

A compressão de uma imagem é obtida quando se elimina a redundância de:

- codificação
- entre *pixels*
- psico-visual

Redundância entre *pixels*



640 colunas x 480 linhas x 1 byte/pixel = 300 KBytes

$480 \times (1,0,1,0,1,0,1,0,1,0,1,0,1,0,1,0,1,0,1,0,1,0,1,0,1,0,1,0,1,0,1,0) = \sim 18 \text{ Kbytes}$

onde 1 = 32 bytes de preto e 0 = 32 bytes de branco

Compressão - RLE

Objetivo

Reduzir a quantidade de dados redundantes.

Exemplo

AAAAAAxxx → 6A3x

Características

Simples e rápido, porém a eficiência depende da imagem a ser comprimida.

Run-Length Encoding

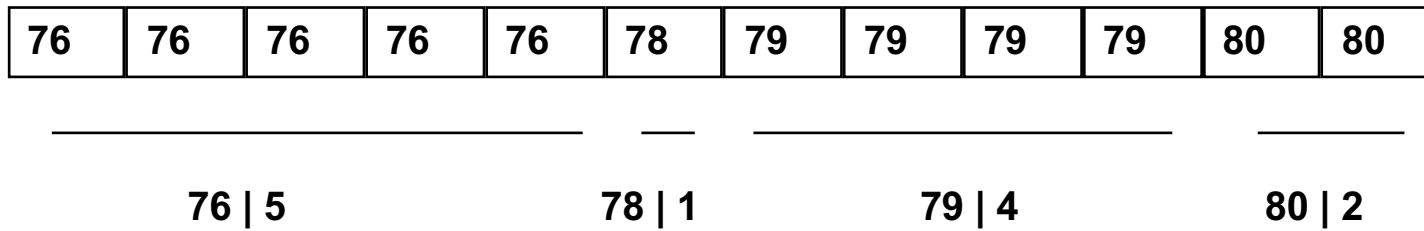
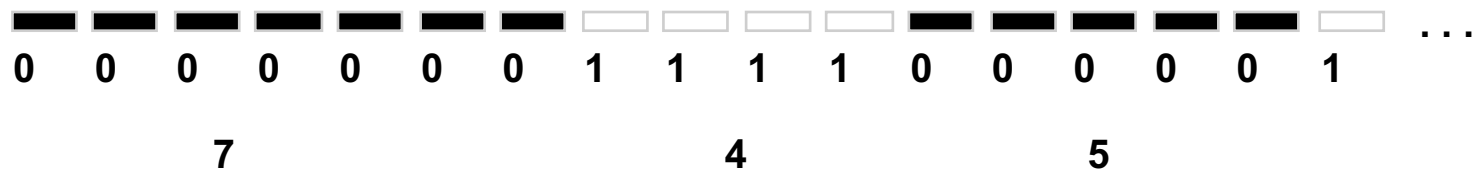


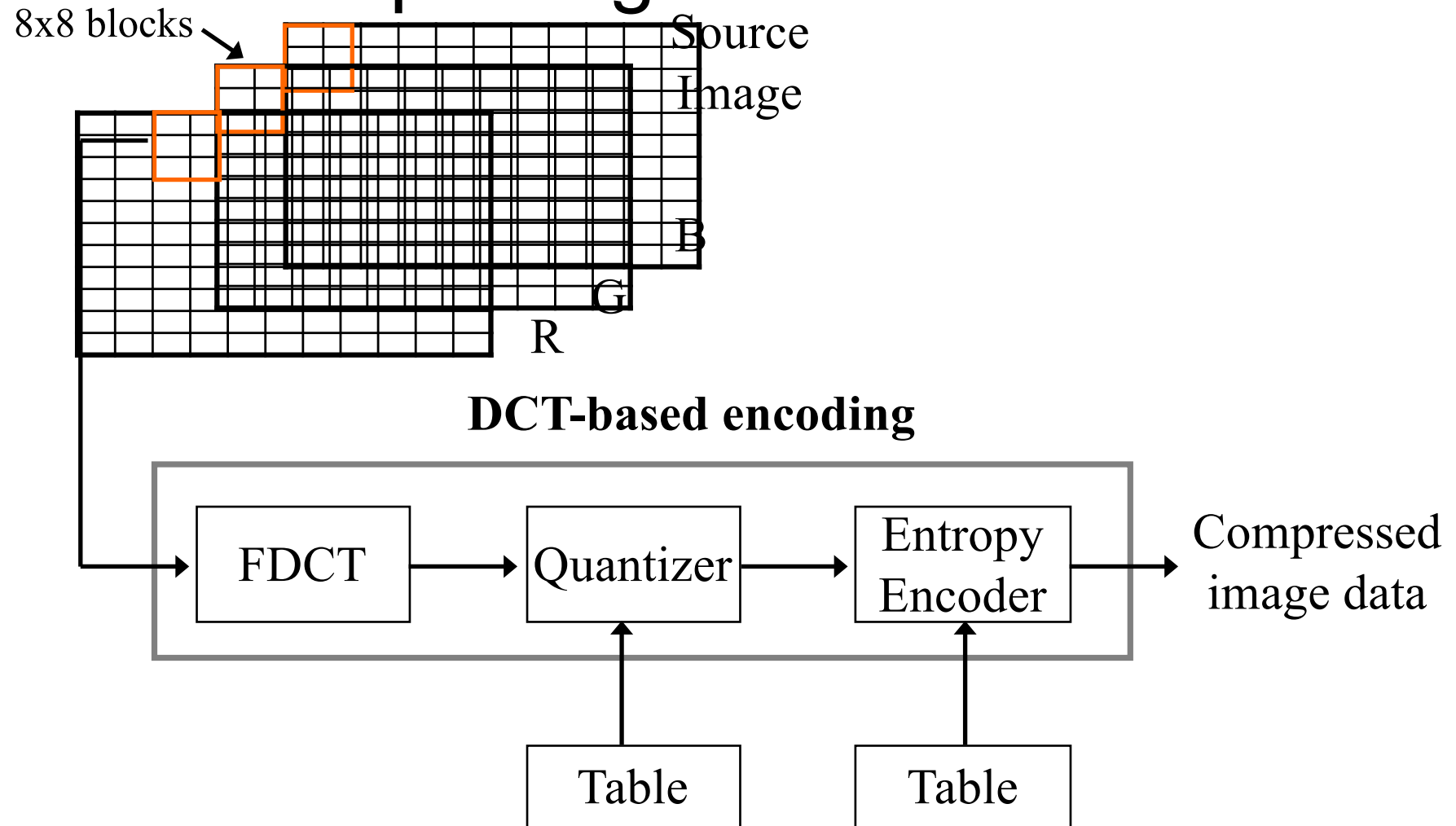
imagem binária

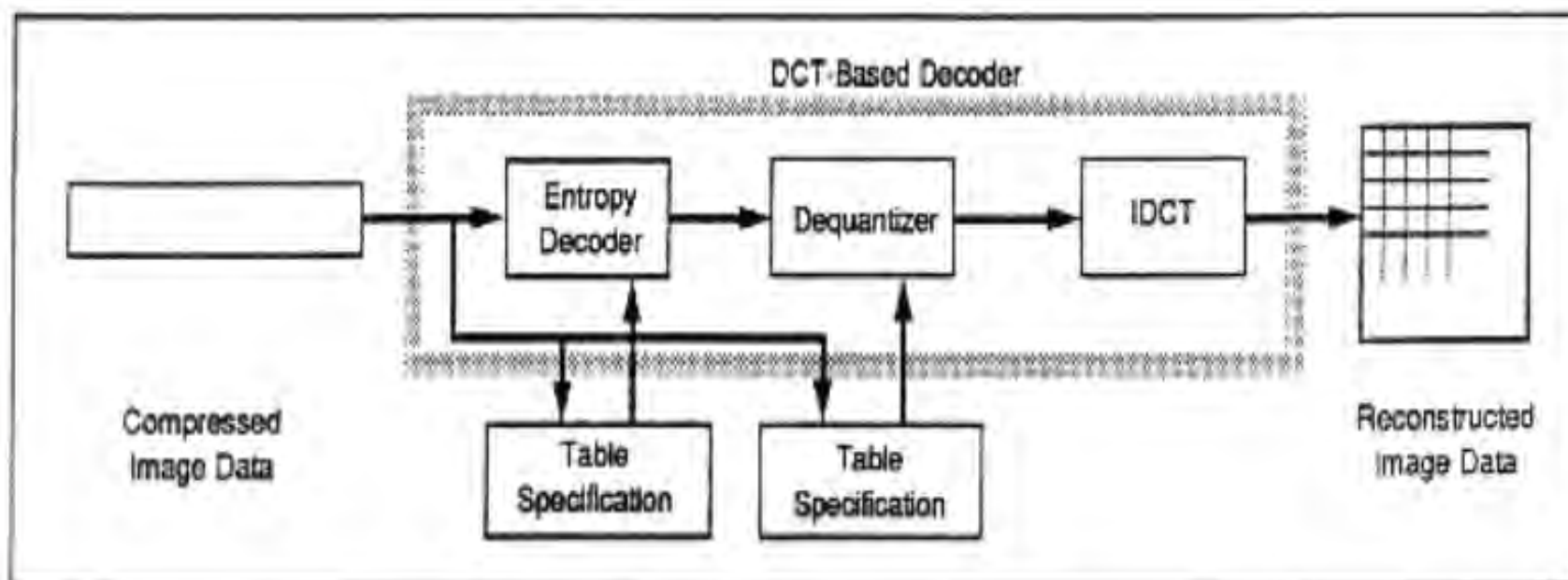
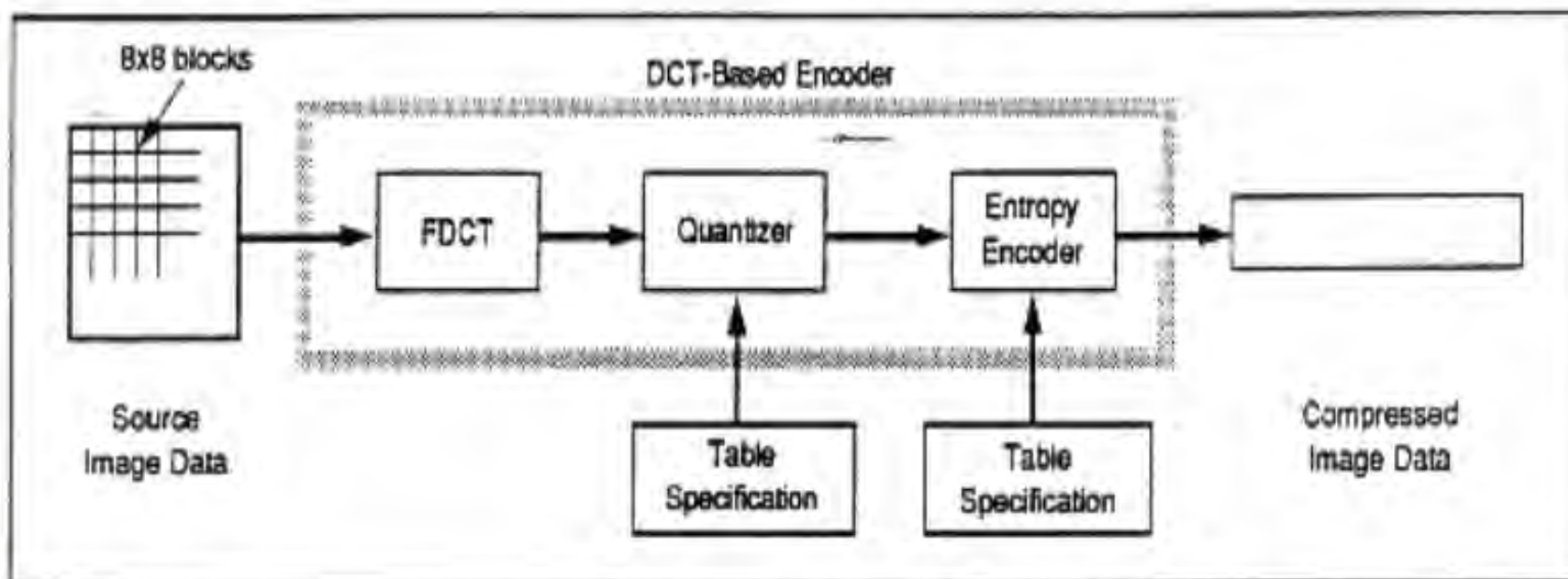


Compressão do jpeg

Aplicações são tecnologicamente
complexas:

exemplo: algoritmo do JPEG







Jpeg image compression

Run Load image Prefactor = 1.0

Size of original bitmap, 1 byte per pixel (kbyte): 94.720

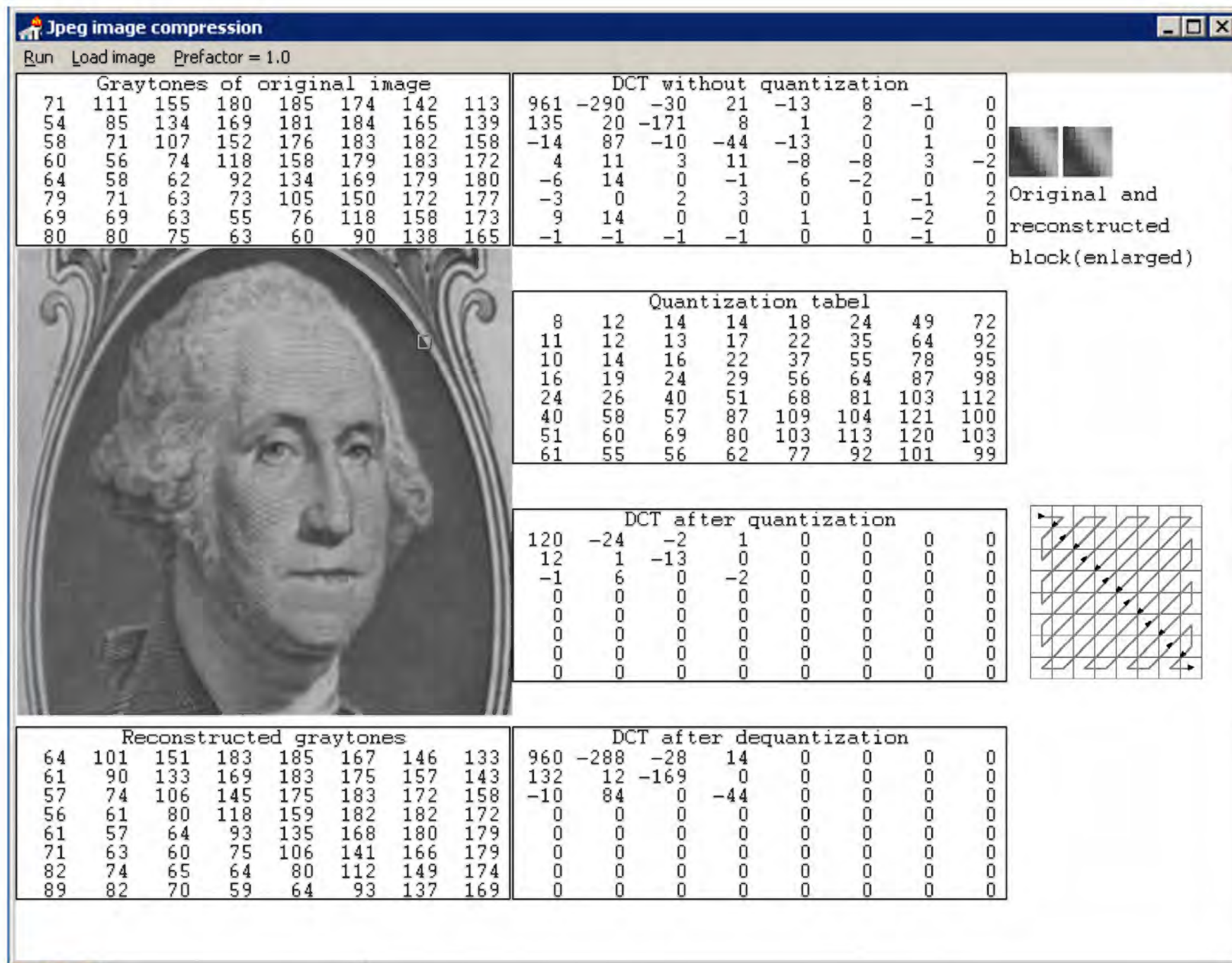
Quantization prefactor: 1.00

Compressed size of image (kbyte): 6.887

Kompression ratio: 13.8

The compressed image is stored on the disk as D:\COURSES\AM37-2~1\DEMOS\JPEG\GEORGE.###





Equations for JPEG DCT

- Forward DCT:

$$DCT(x, y) = \frac{1}{4} C_x C_y \sum_{x=0}^7 \sum_{y=0}^7 Spixel(i, j) \cdot \cos \frac{(2i+1) \cdot x \cdot \pi}{16} \cdot \cos \frac{(2j+1) \cdot y \cdot \pi}{16}$$

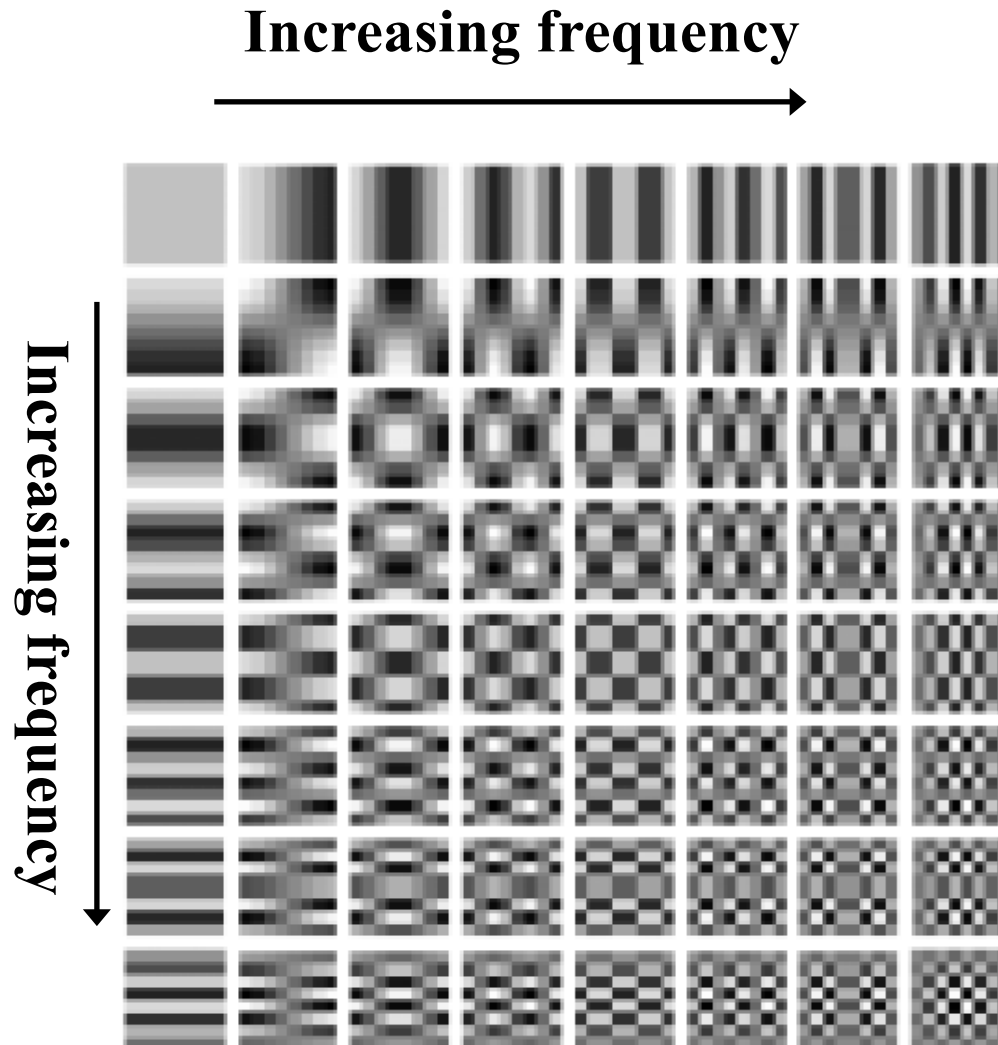
$$\text{where } C_x C_y = \frac{1}{\sqrt{2}} \text{ for } x, y = 0; \text{ otherwise } C_x, C_y = 1.$$

- Inverse DCT:

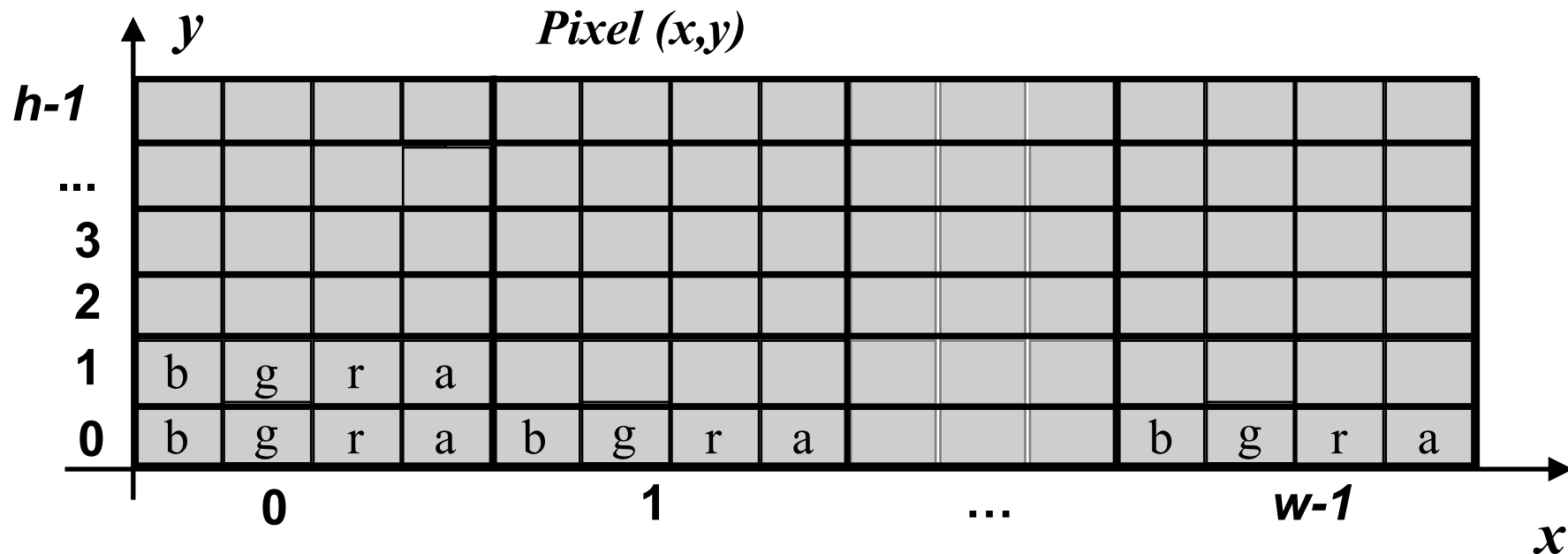
$$pixel(x, y) = \frac{1}{4} \sum_{x=0}^7 \sum_{y=0}^7 C_i C_j DCT(i, j) \cdot \cos \frac{(2x+1)j \cdot \pi}{16} \cdot \cos \frac{(2y+1)i \cdot \pi}{16}$$

$$\text{where } C_i, C_j = \frac{1}{\sqrt{2}} \text{ for } i, j = 0; \text{ otherwise } C_i, C_j = 1.$$

Visualization of Basis Functions



Organização de *pixels* num *array* no formato TGA (targa)



```
unsigned char *bgra_vector;
```

```
...
```

```
offset=4*(w*y+x);
```

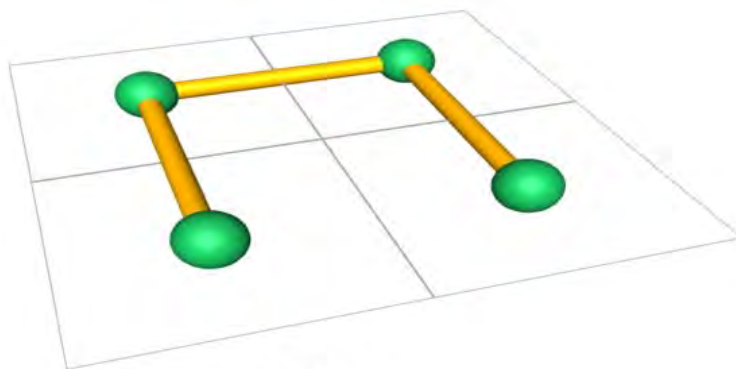
```
blue  = bgra_vector[offset];
```

```
green = bgra_vector[offset+1];
```

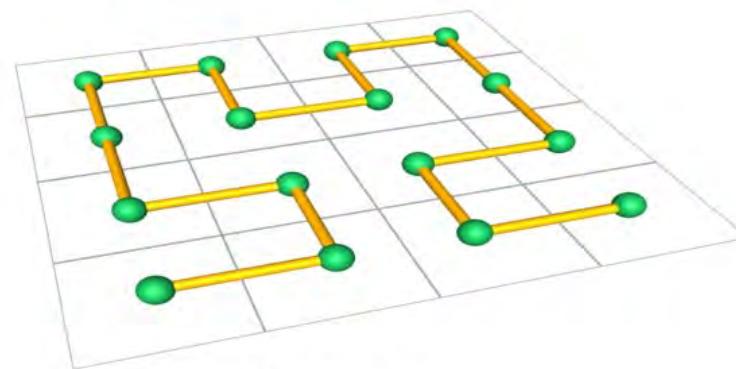
```
red   = bgra_vector[offset+2];
```

```
alpha = bgra_vector[offset+3];
```

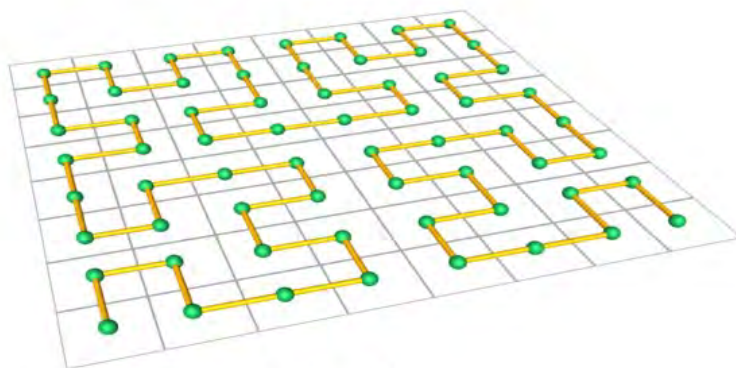
Outra ordem no plano



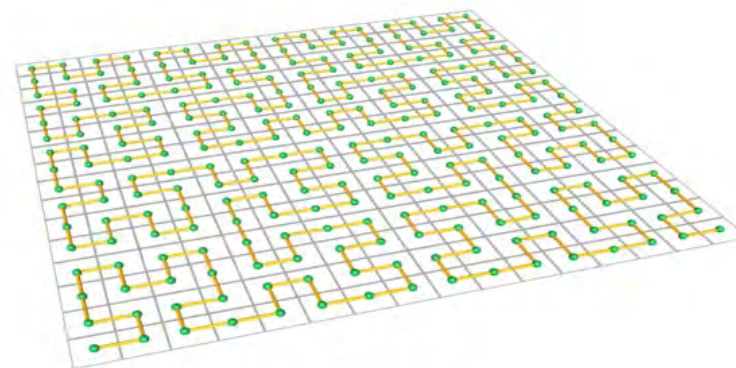
Ordem 1



Ordem 2



Ordem 3



Ordem 4

Tipo Abstrato Imagem

```
Image *imgCreate (int w, int h);
void  imgDestroy (Image *image);

int imgGetWidth(Image * image);
int imgGetHeight(Image * image);
float * imgGetRGBData(Image * image);

void imgSetPixel3fv(Image *image, int x, int y, float * color);
void imgSetPixel3ubv(Image *image, int x, int y, unsigned char *color);
void imgGetPixel3fv(Image *image, int x, int y, float *color);
void imgGetPixel3ubv(Image *image, int x, int y, unsigned char *color);

Image * imgReadBMP(char *filename);
int imgWriteBMP(char *filename, Image * image);

Image * imgCopy(Image * image);
Image * imgGrey(Image * image);
Image * imgResize(Image * img0, int w1, int h1);
```

```
/*- implementação do tipo Imagem */
struct image_imp {
    int width;      /* largura (width) em pixels    */
    int height;     /* altura (height) em pixels   */
    float *buf;     /* buffer RGB                  */
};
```